

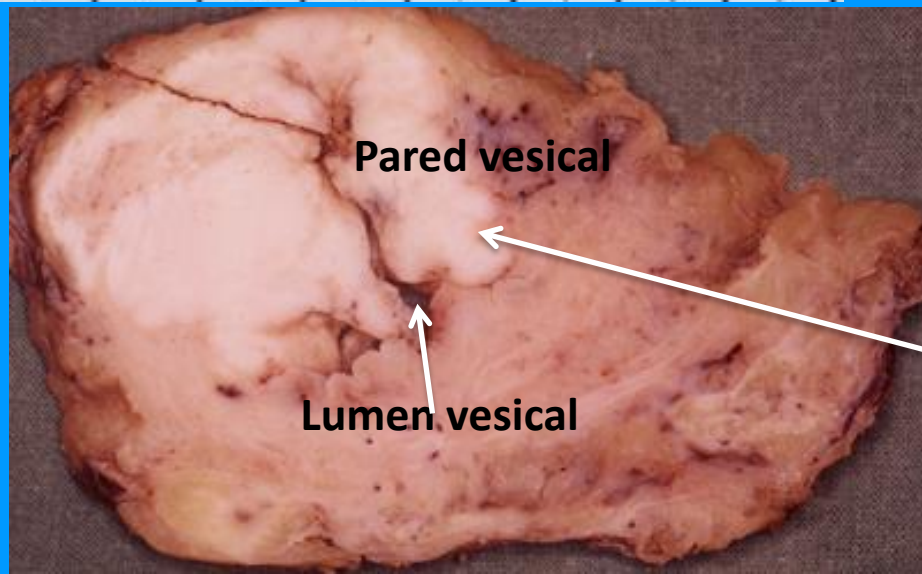
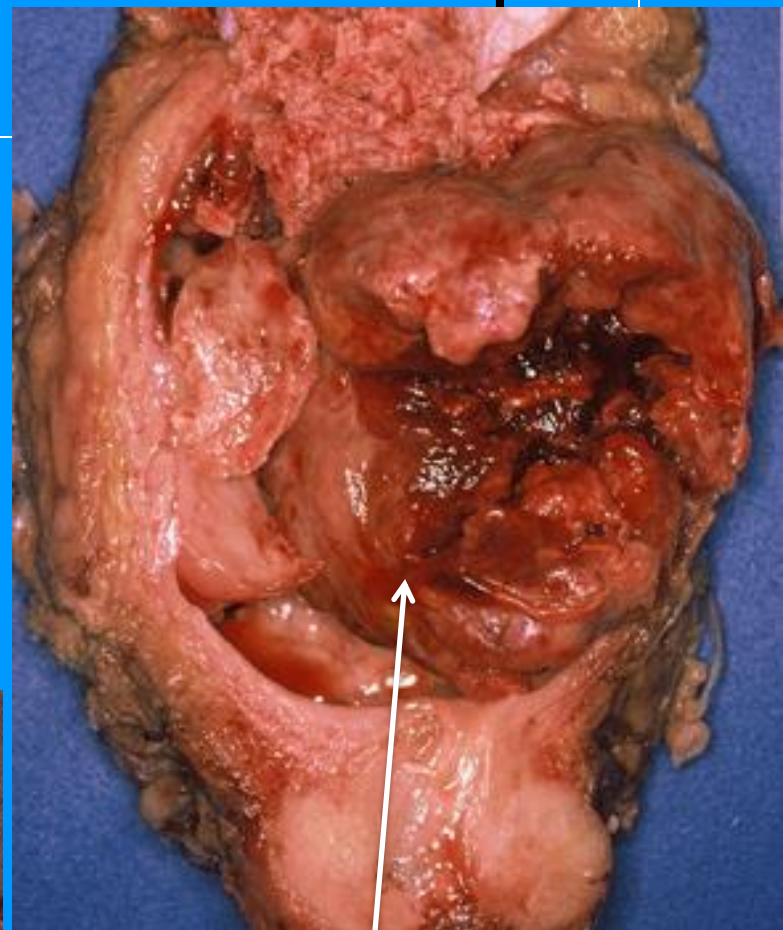
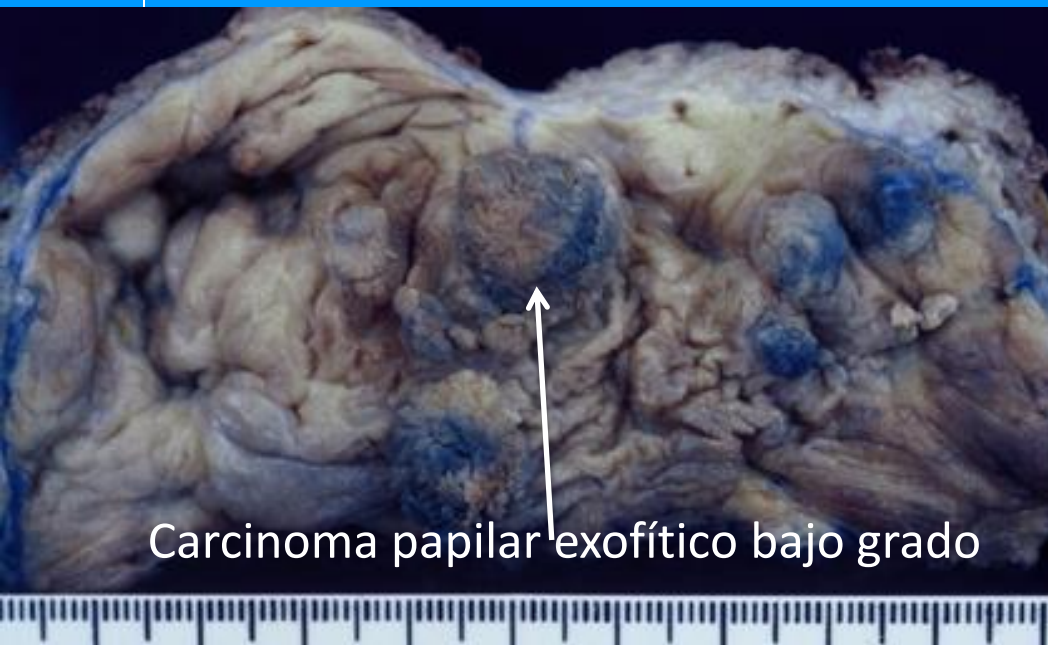
Patología urológica 1

Paso práctico vejiga y próstata

Actualizado 2020

Dr. Carlos Misad

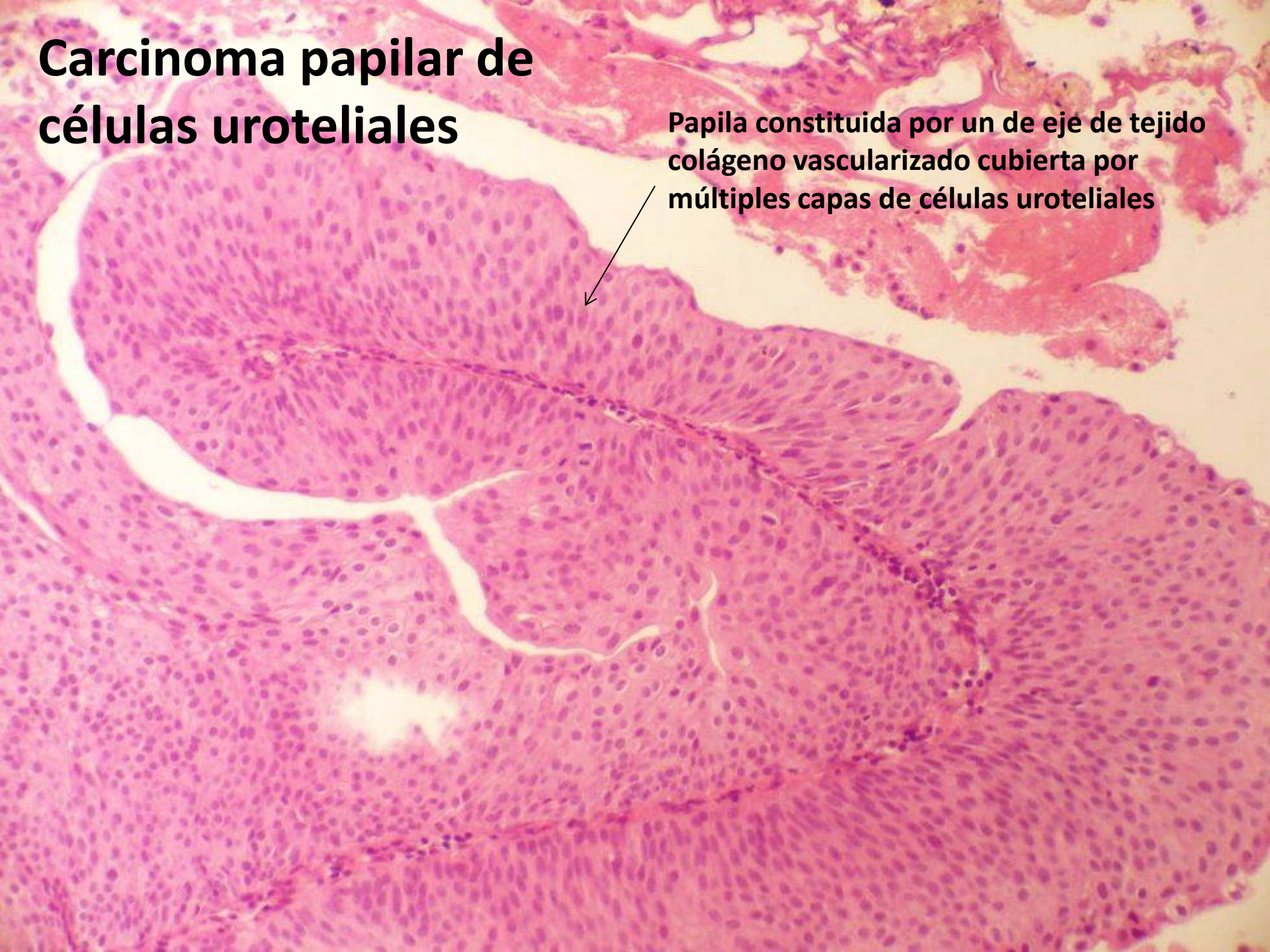
Carcinoma papilar urotelial macroscopía



Carcinoma papilar invasor de alto grado

Carcinoma papilar de células uroteliales

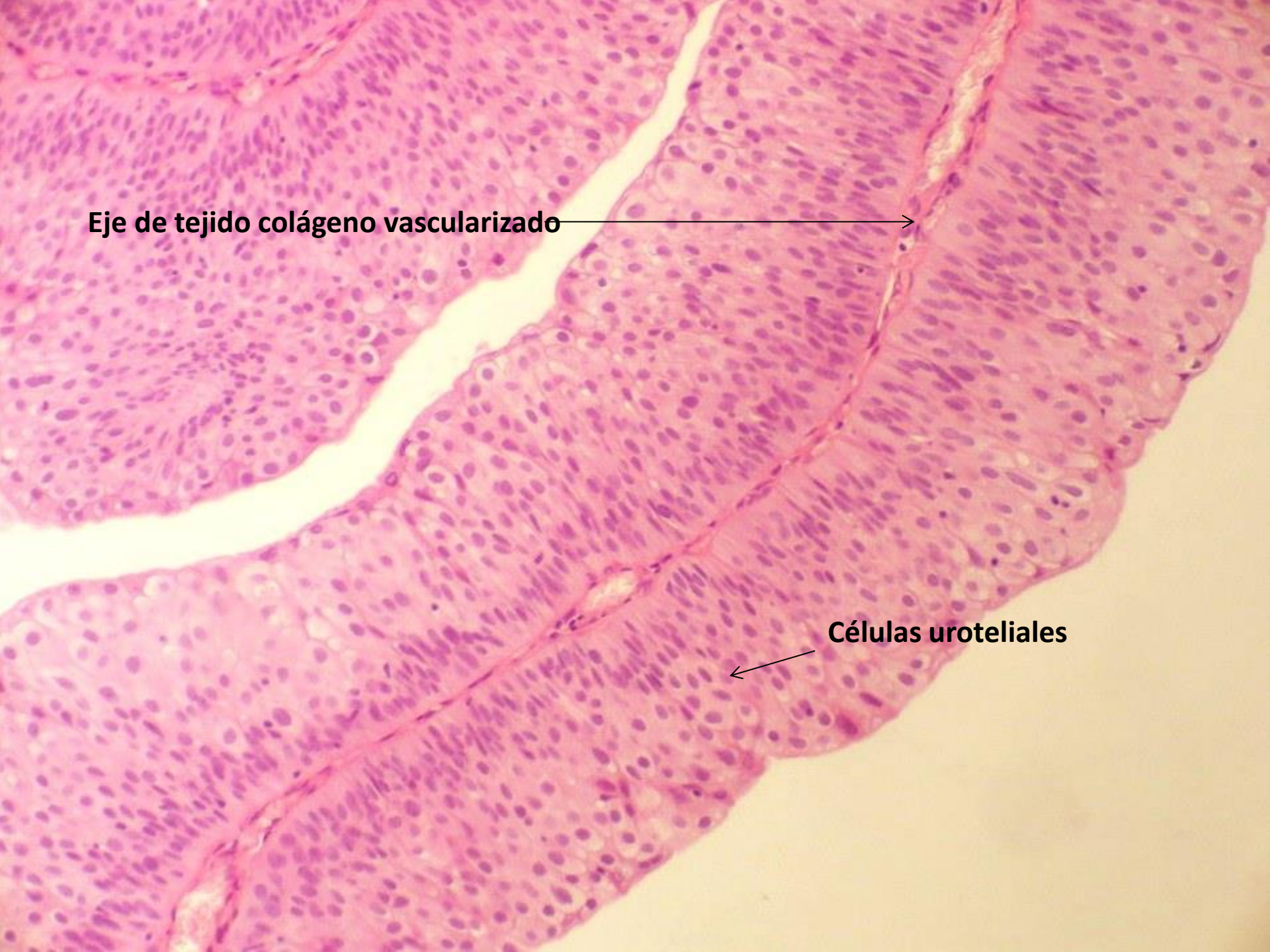
Papila constituida por un eje de tejido colágeno vascularizado cubierta por múltiples capas de células uroteliales



Eje de tejido colágeno vascularizado



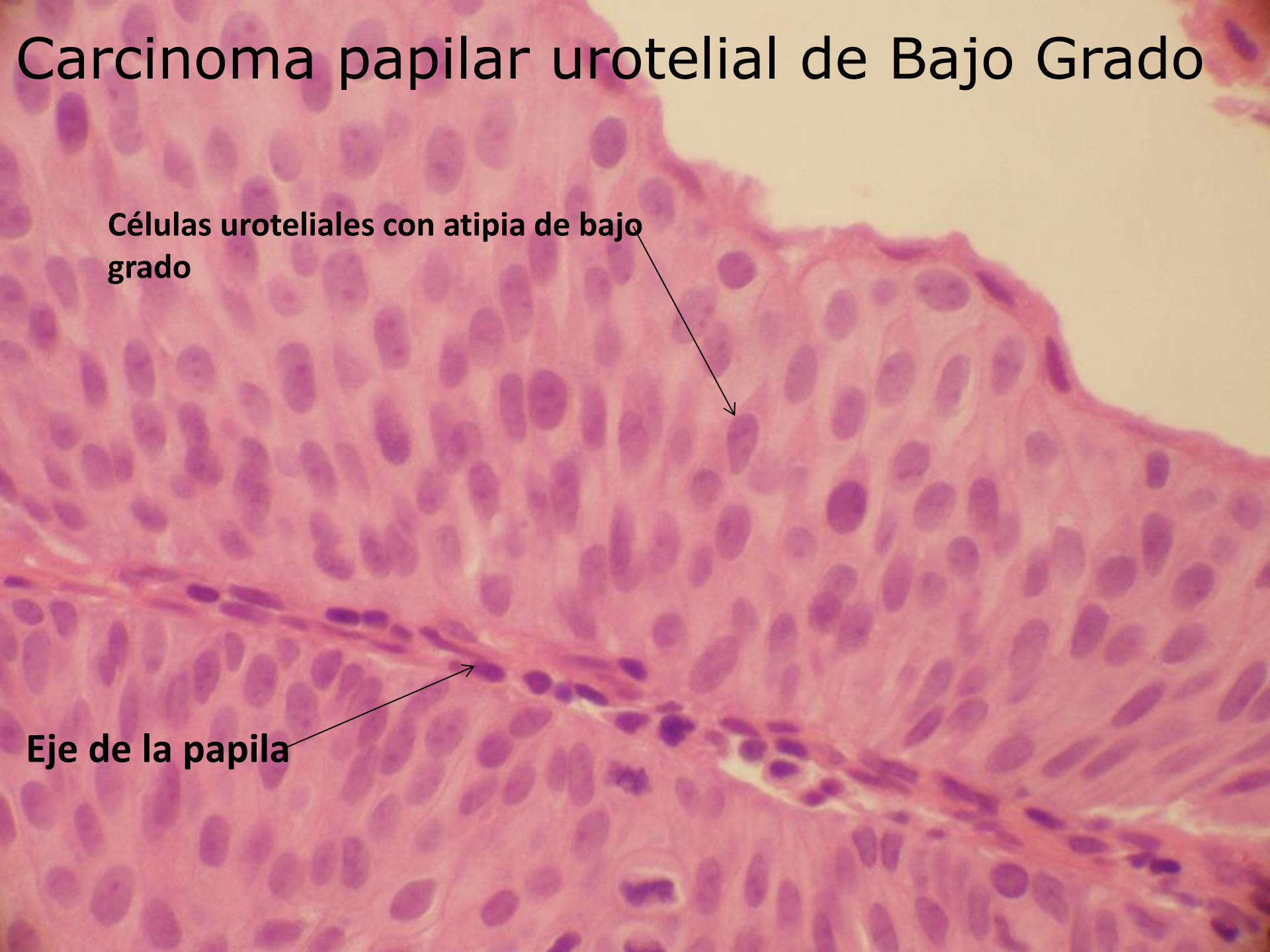
Células uroteliales



Carcinoma papilar urotelial de Bajo Grado

Células uroteliales con atipia de bajo grado

Eje de la papila

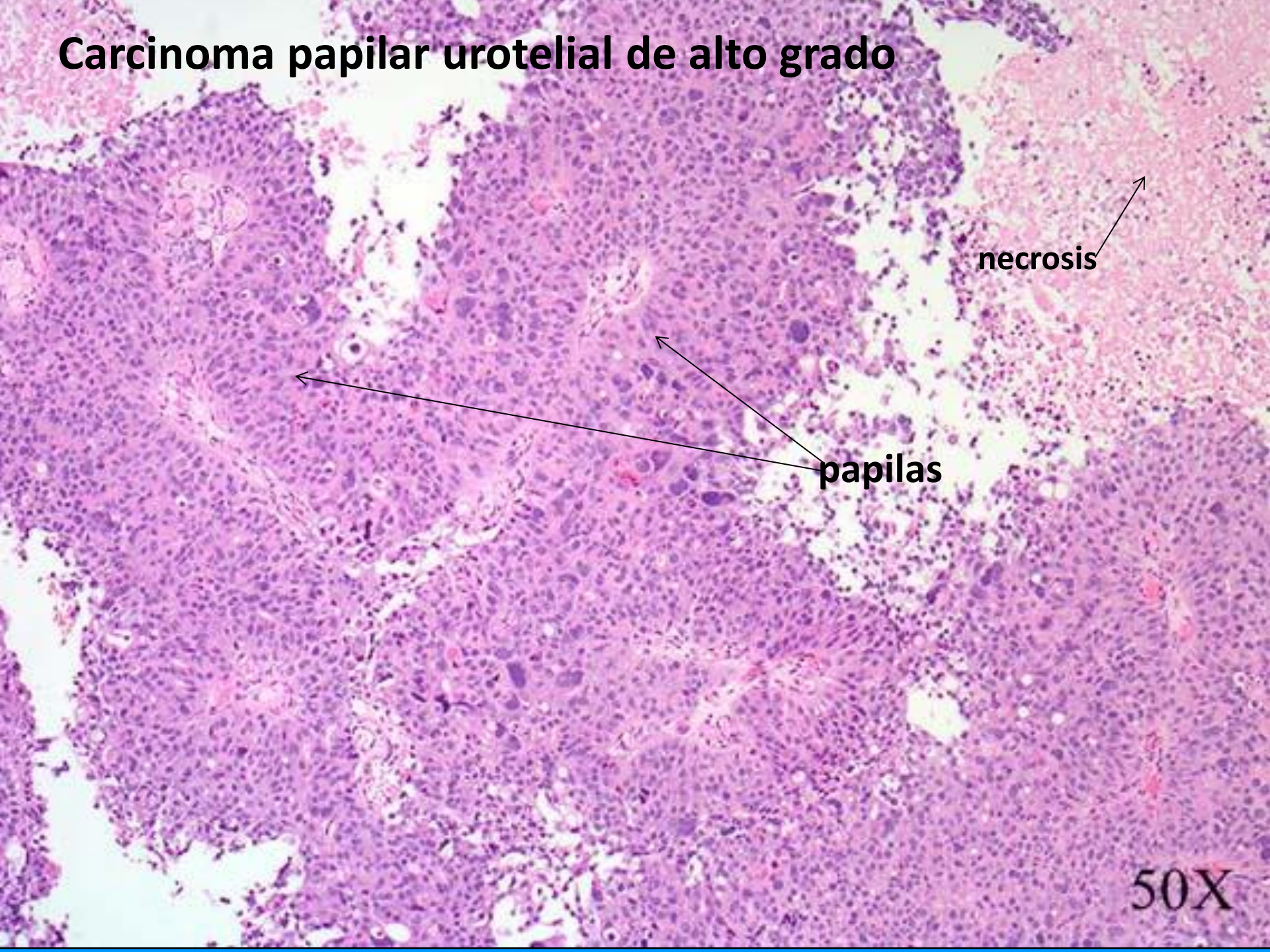


Carcinoma papilar urotelial de Bajo Grado



Mitosis suprabasal

Carcinoma papilar urotelial de alto grado

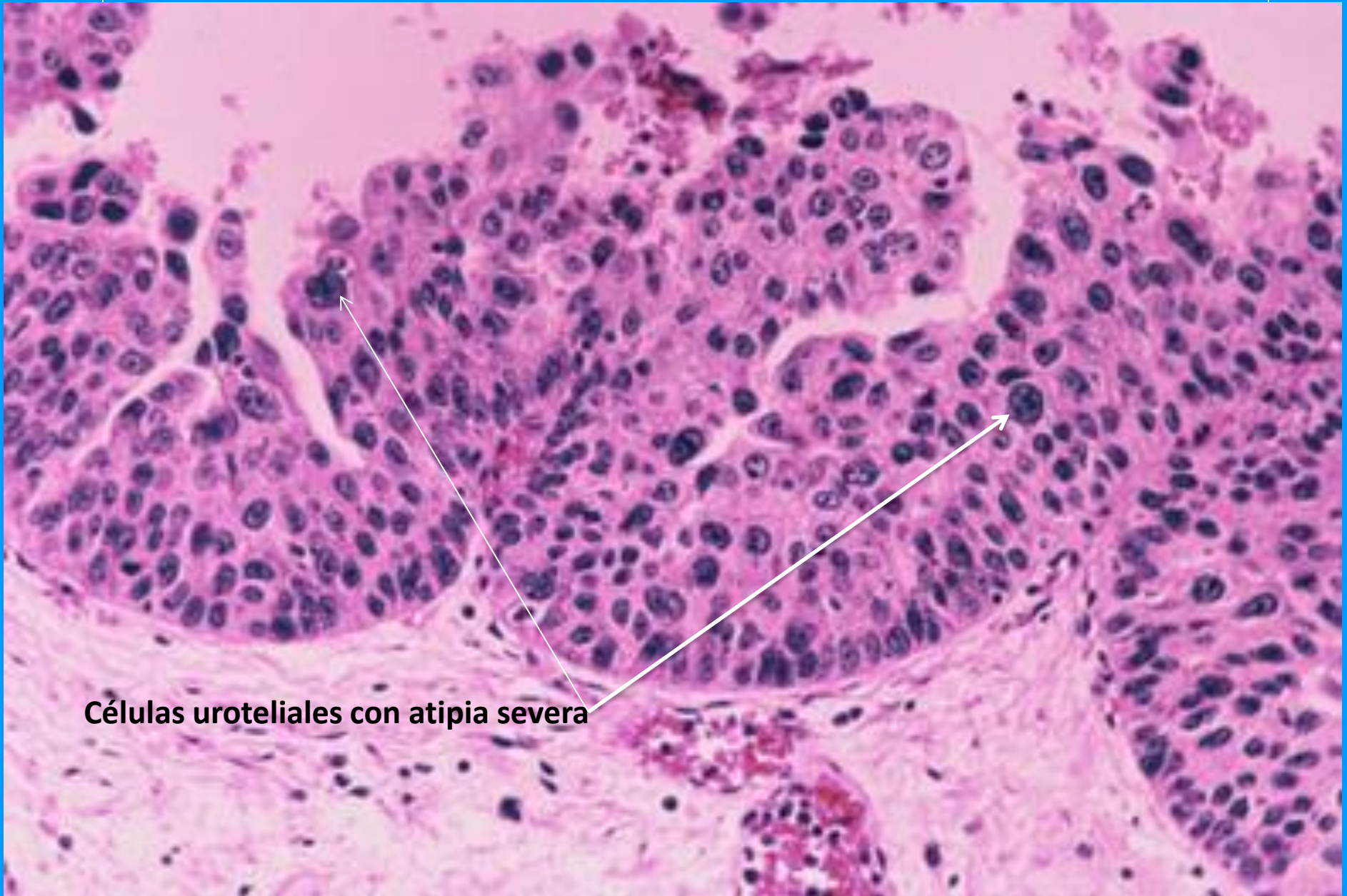


necrosis

papilas

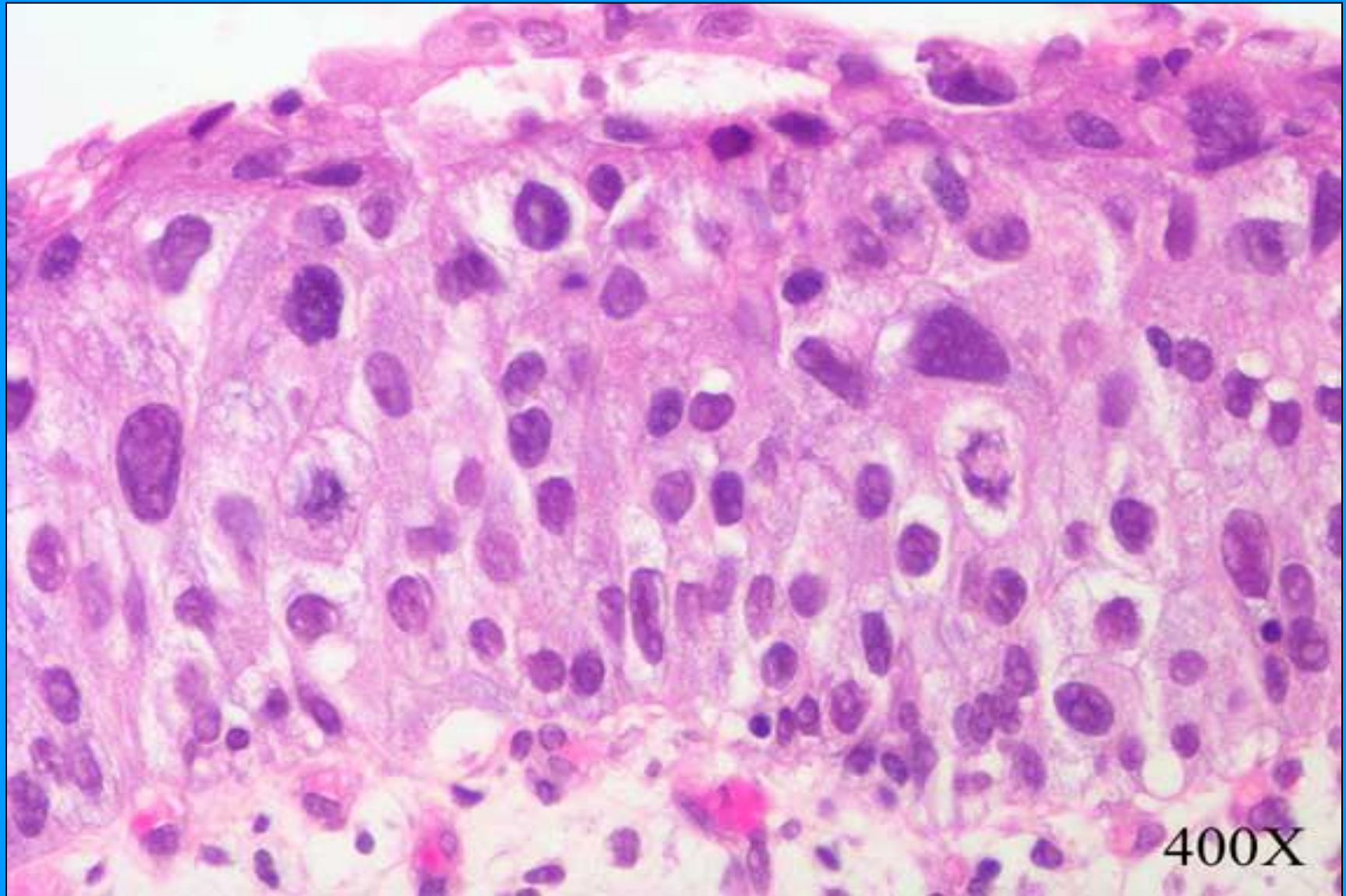
50X

Carcinoma papilar urotelial de alto grado

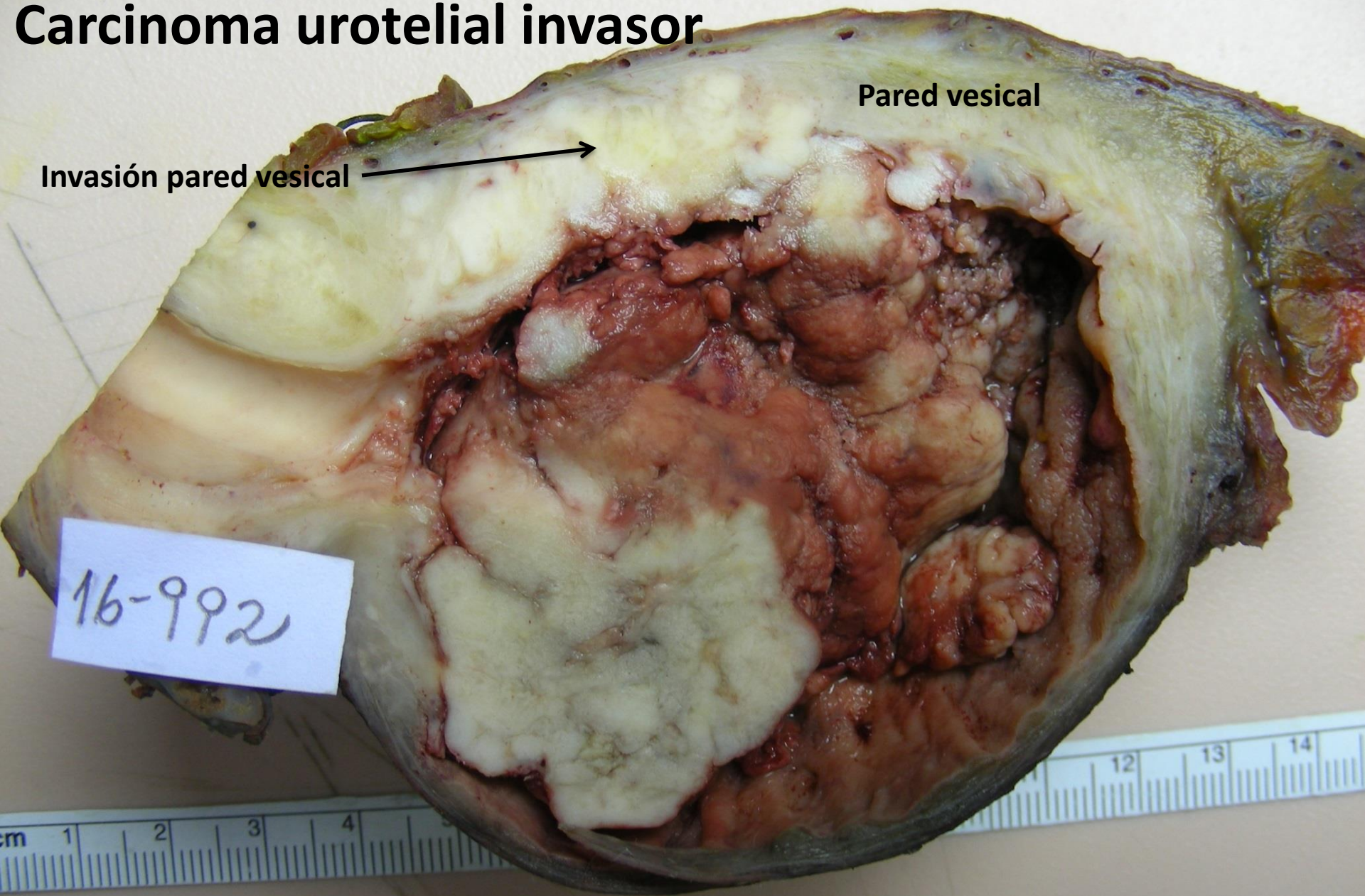


Células uroteliales con atipia severa

Carcinoma urotelial in situ: atipia celular severa en mucosa no papilar



Carcinoma urotelial invasor



Pared vesical

Invasión pared vesical →

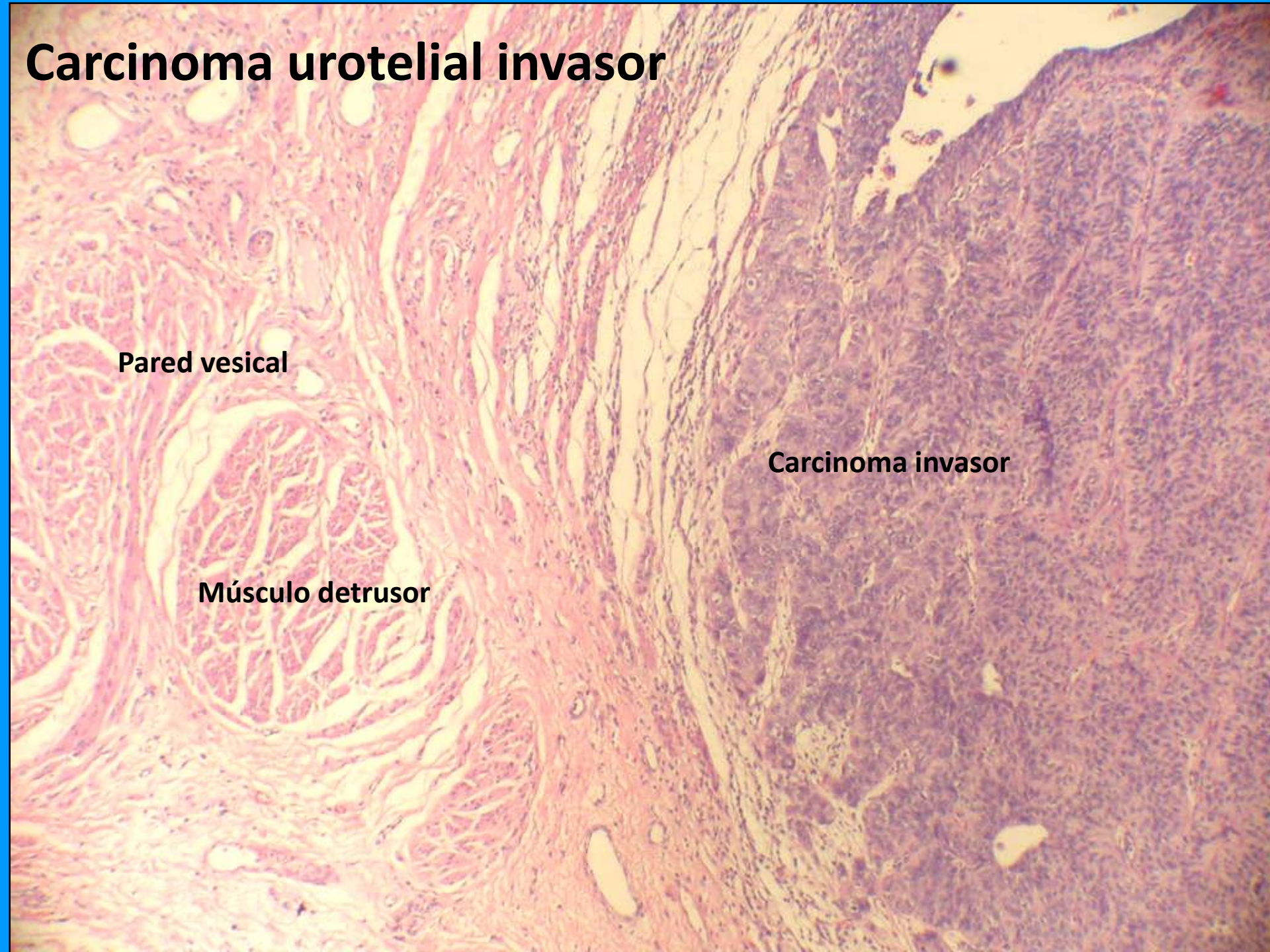
16-992

Carcinoma urotelial invasor

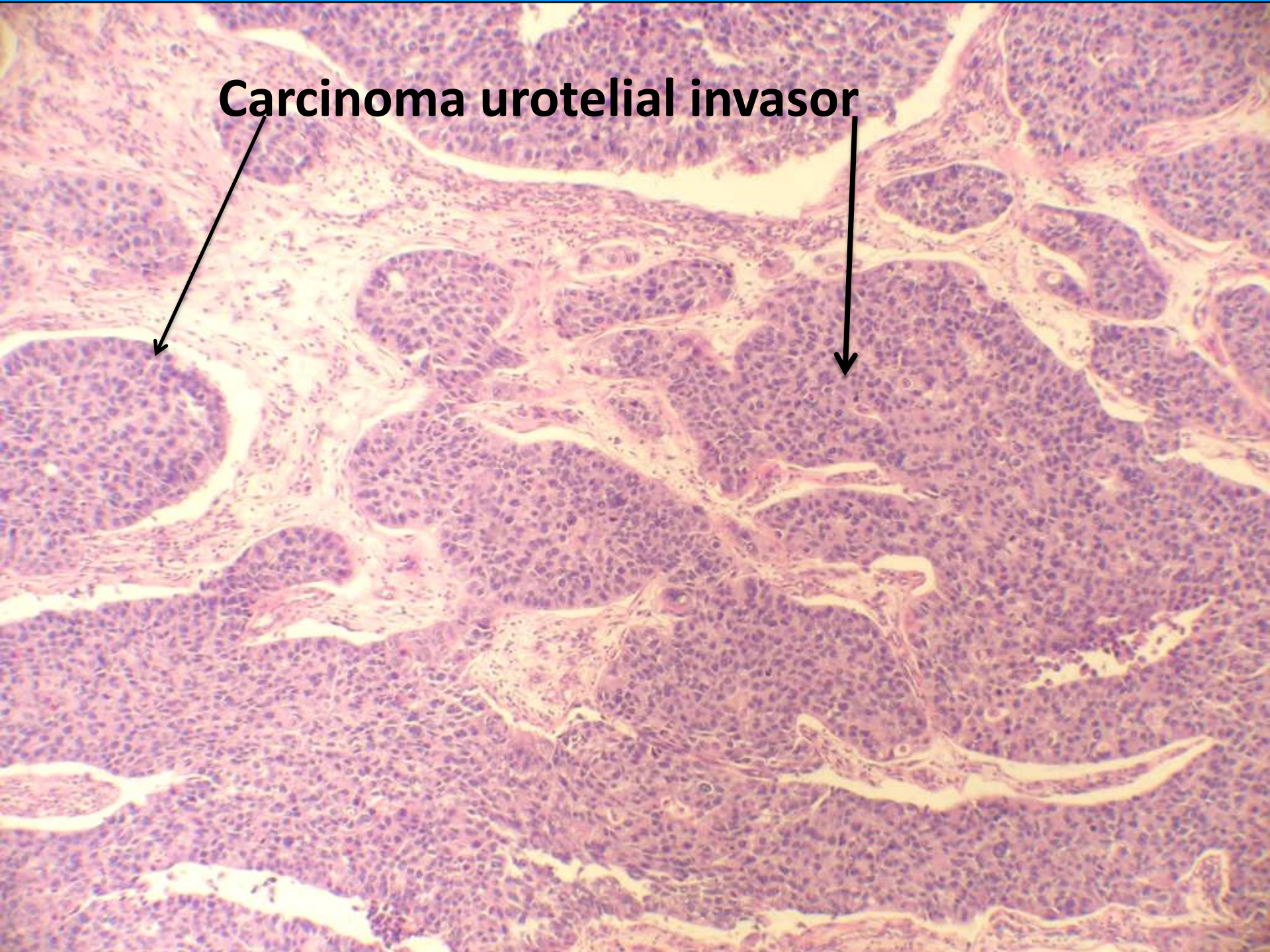
Pared vesical

Músculo detrusor

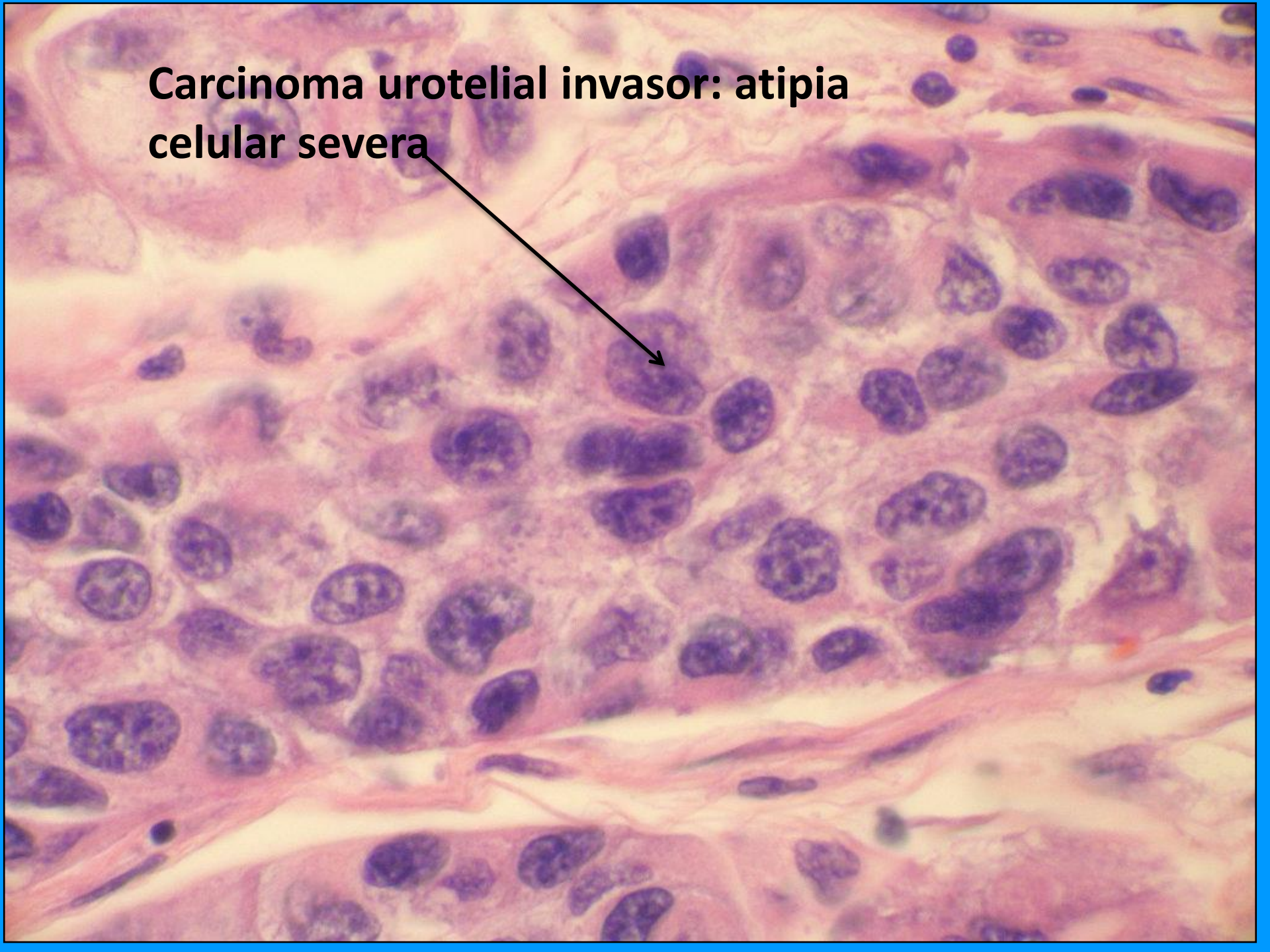
Carcinoma invasor



Carcinoma urotelial invasor



Carcinoma urotelial invasor: atipia celular severa



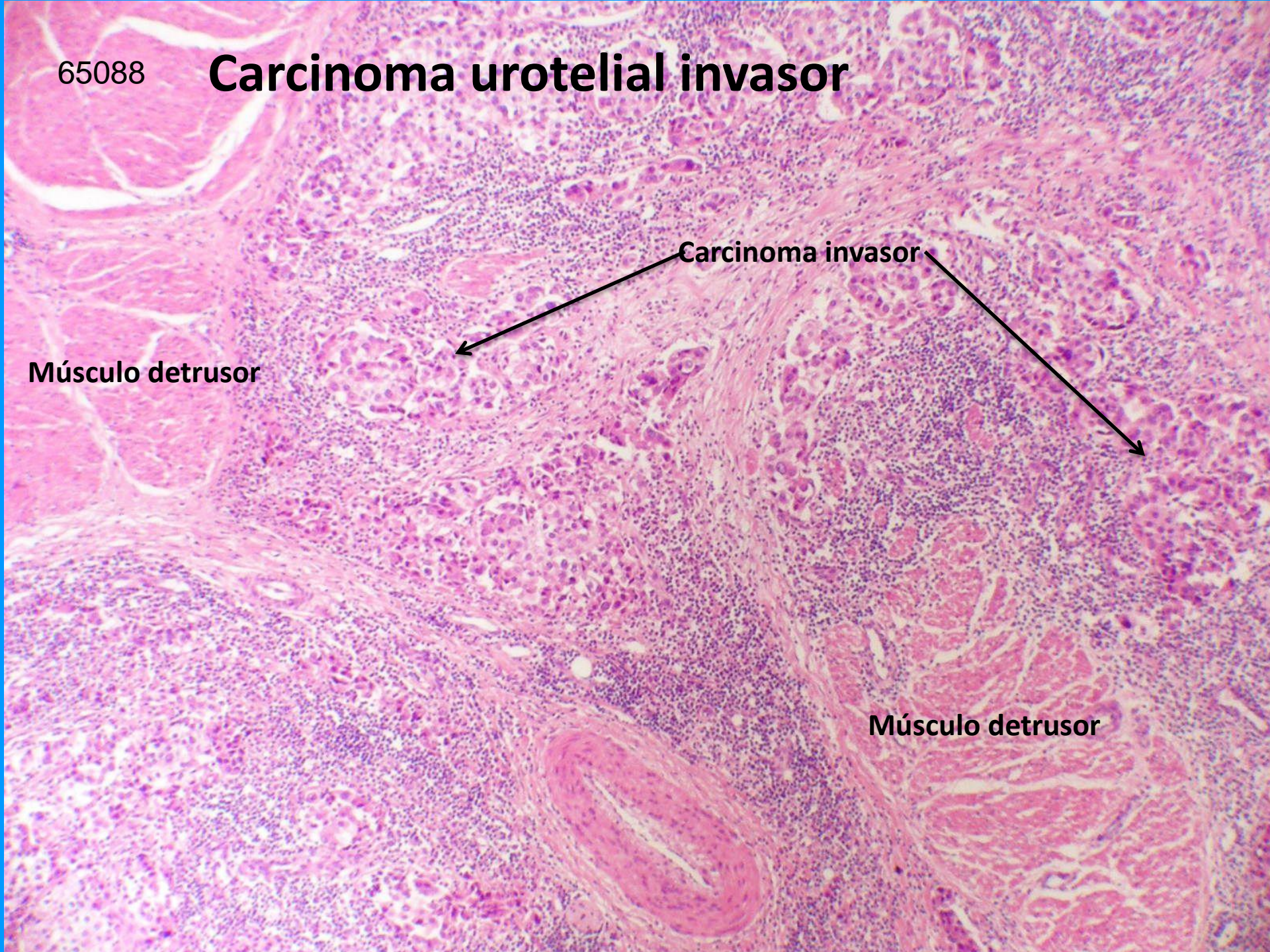
65088

Carcinoma urotelial invasor

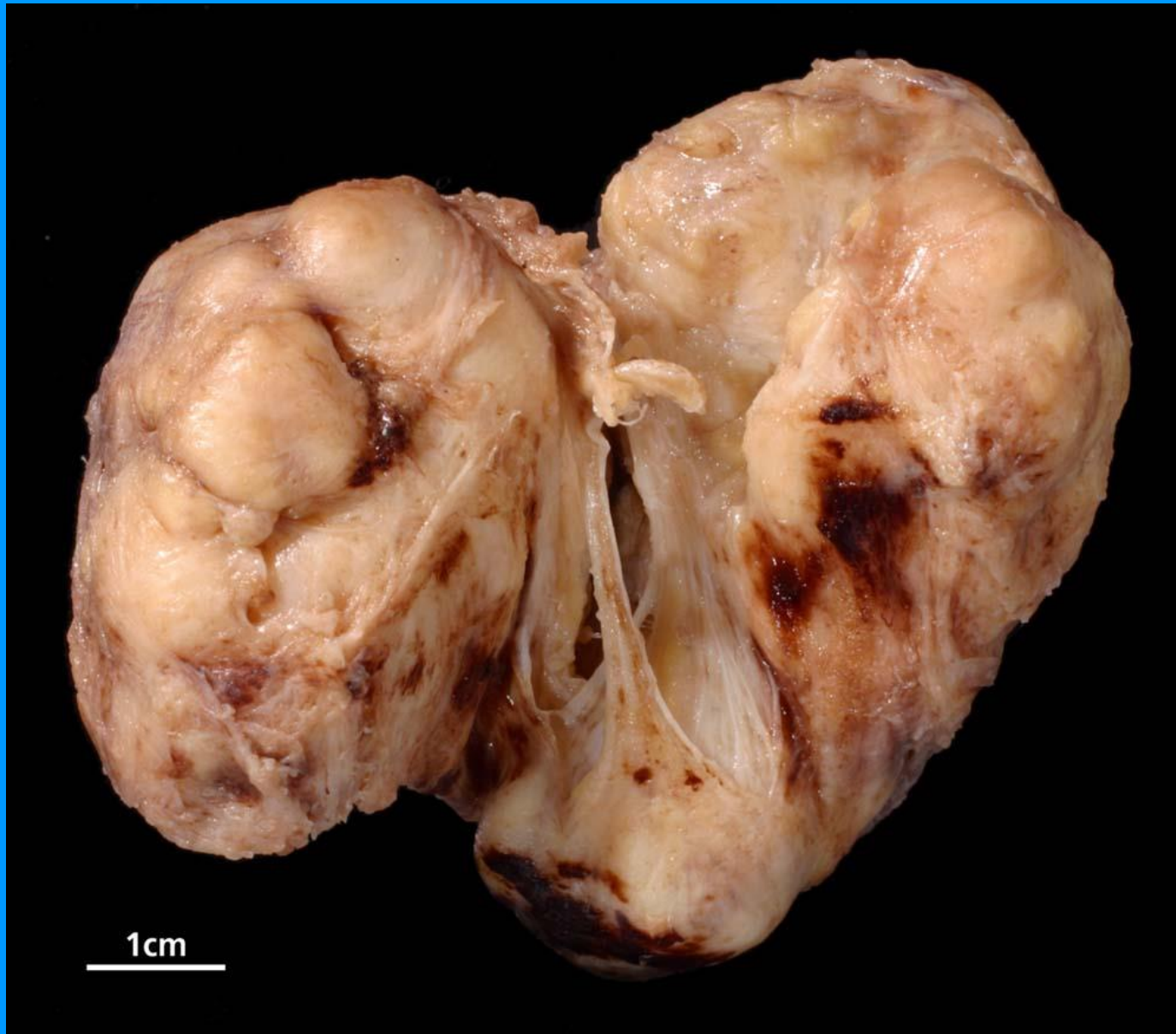
Músculo detrusor

Carcinoma invasor

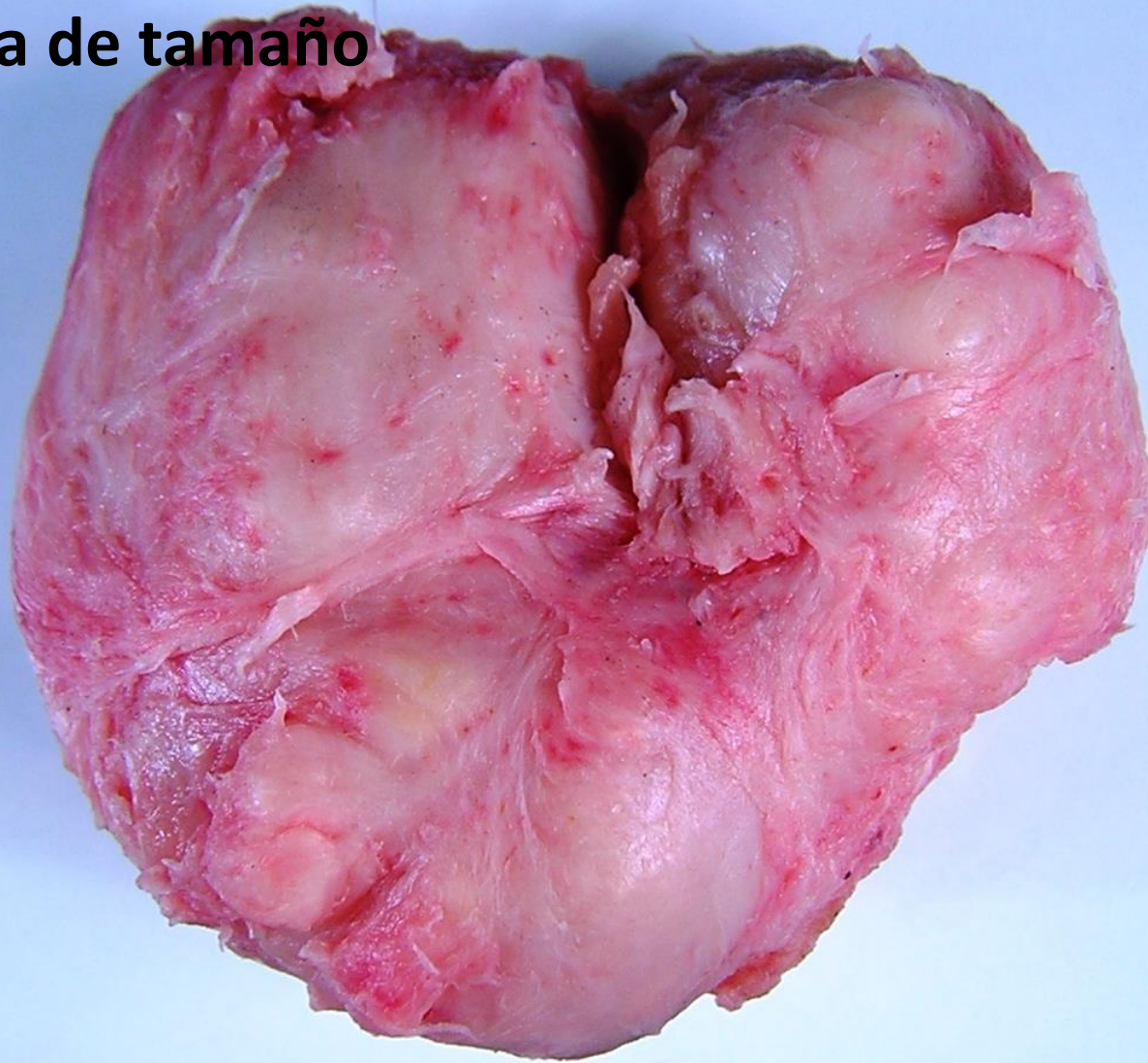
Músculo detrusor



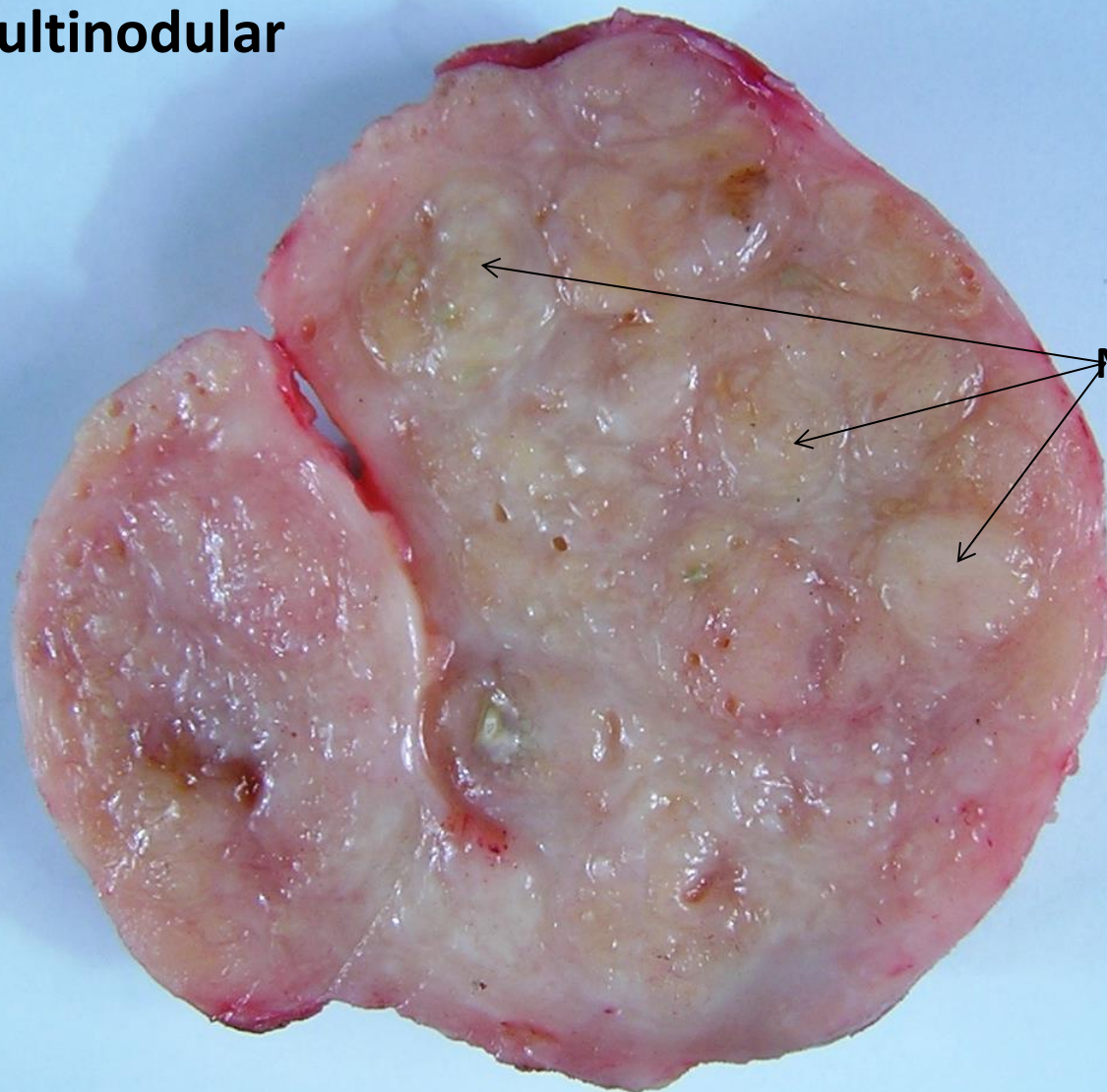
Hiperplasia Nodular de la Próstata: glándula aumentada de tamaño y con superficie multinodular



Hiperplasia nodular prostática: glándula prostática aumentada de tamaño

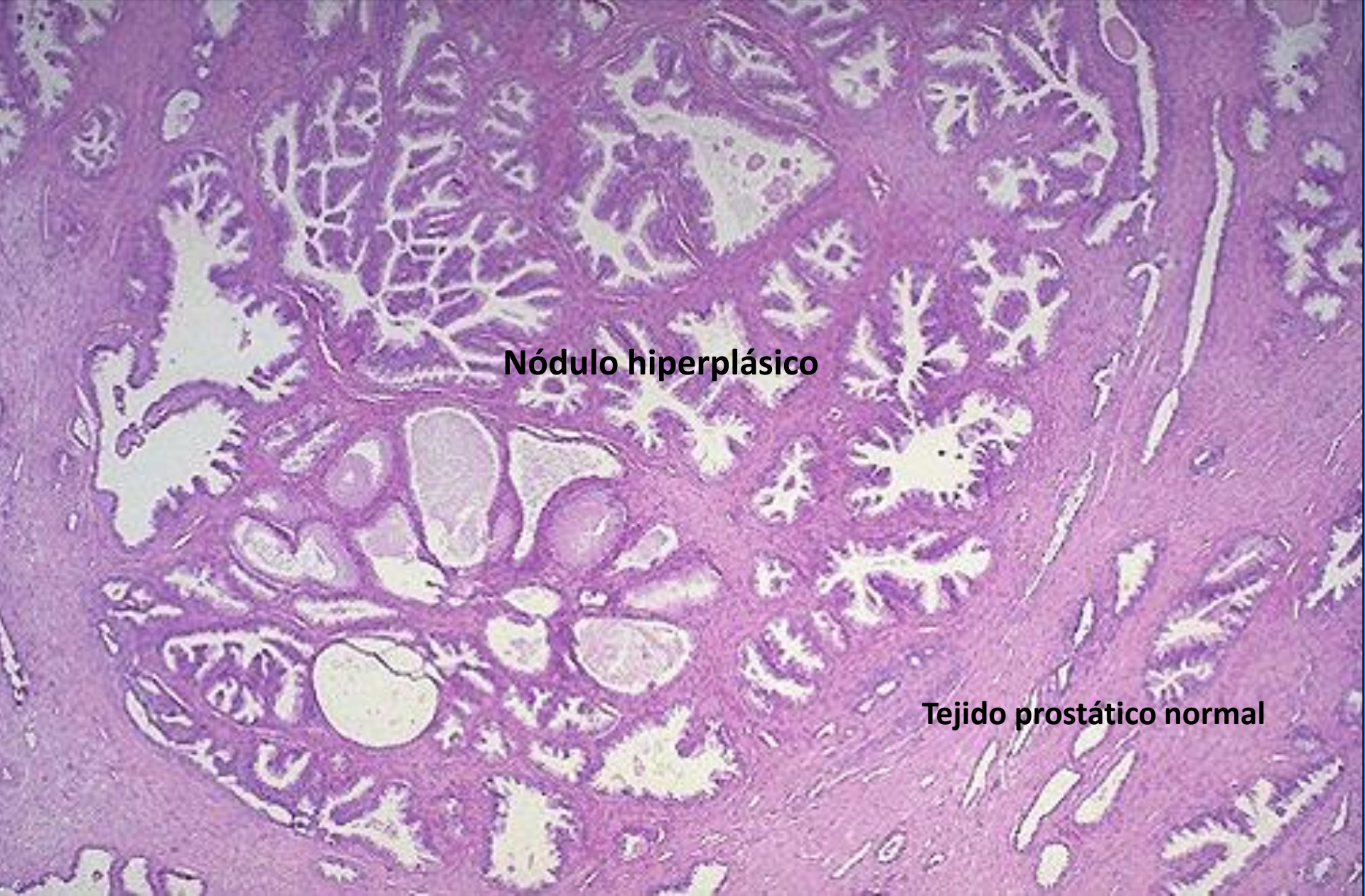


Hiperplasia nudular prostática: superficie de corte de aspecto multinodular



Nódulos hiperplásicos

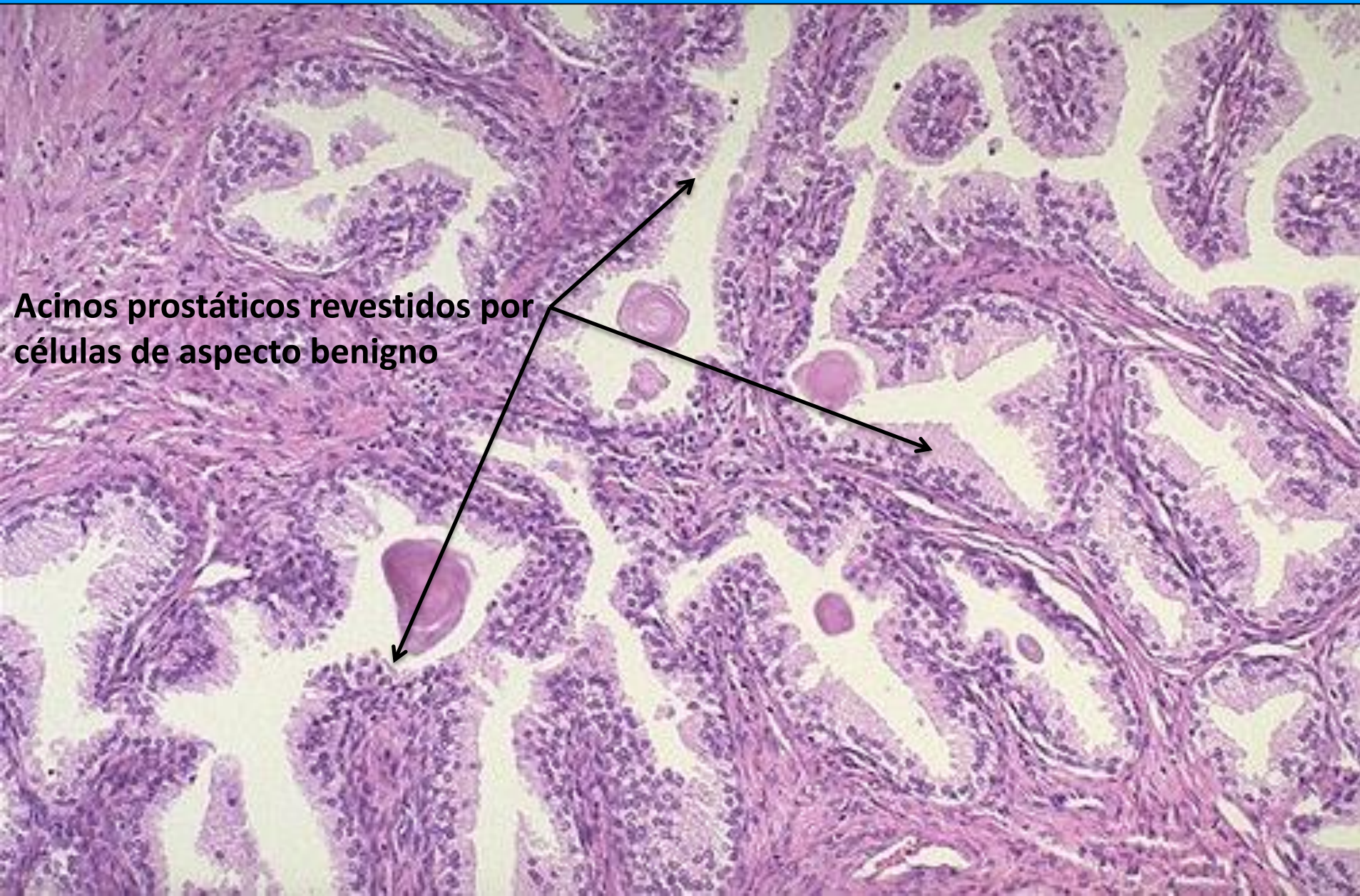
Hiperplasia nodular prostática



Nódulo hiperplásico

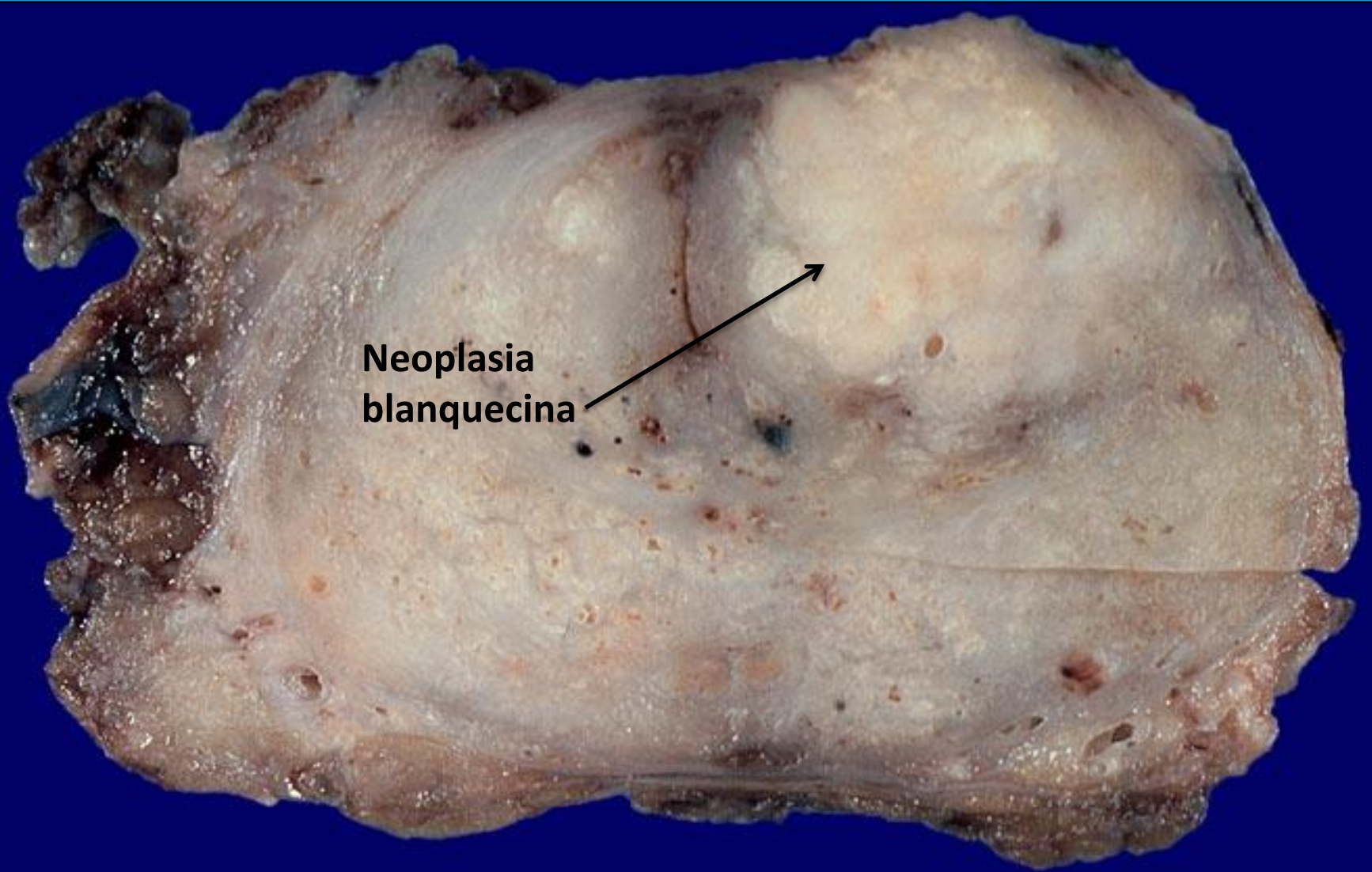
Tejido prostático normal

Hiperplasia nodular prostática



Acinos prostáticos revestidos por células de aspecto benigno

Carcinoma Prostatico

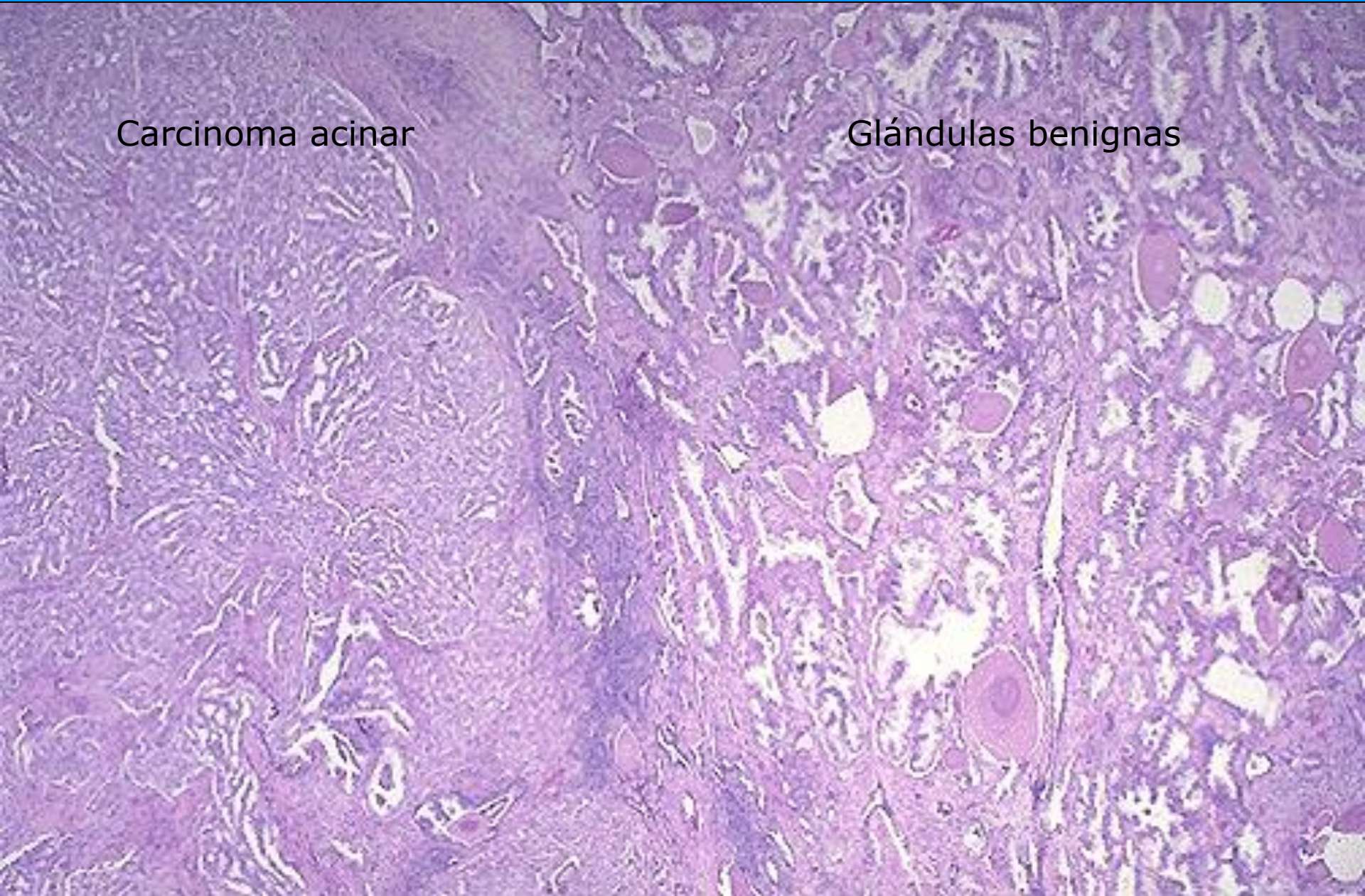


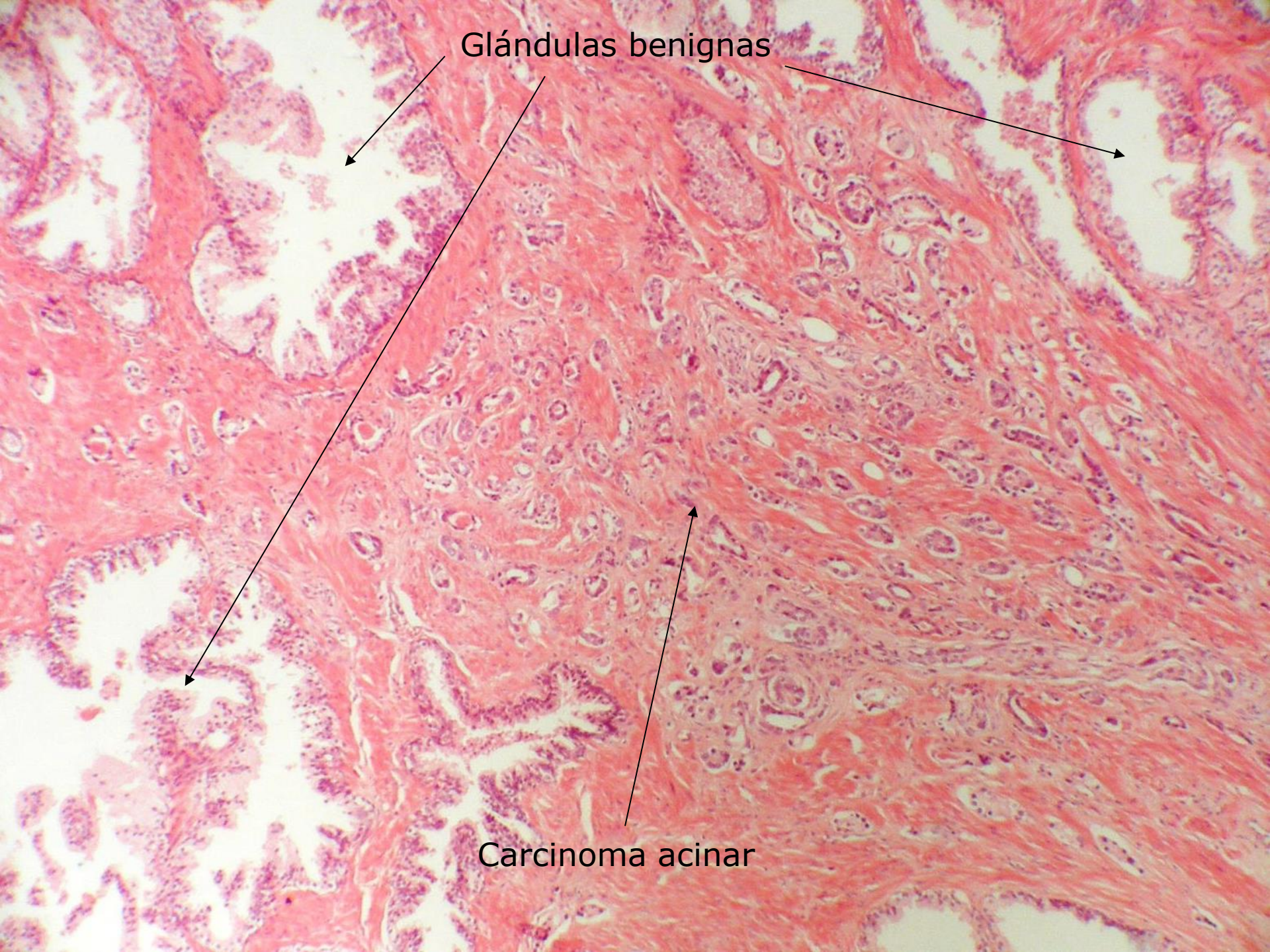
Neoplasia
blanquecina

adenocarcinoma acinar

Carcinoma acinar

Glándulas benignas



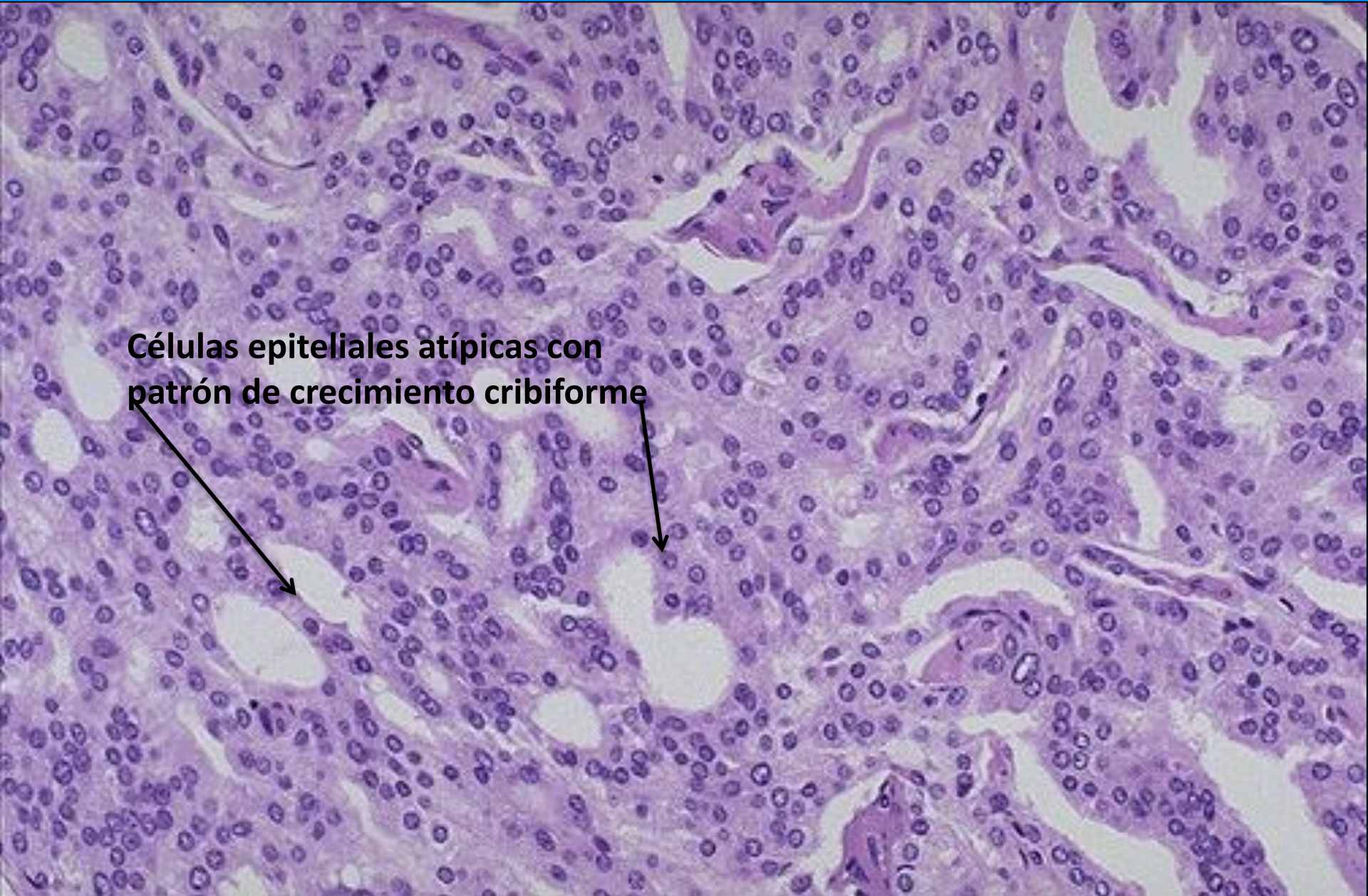


Glándulas benignas

Carcinoma acinar

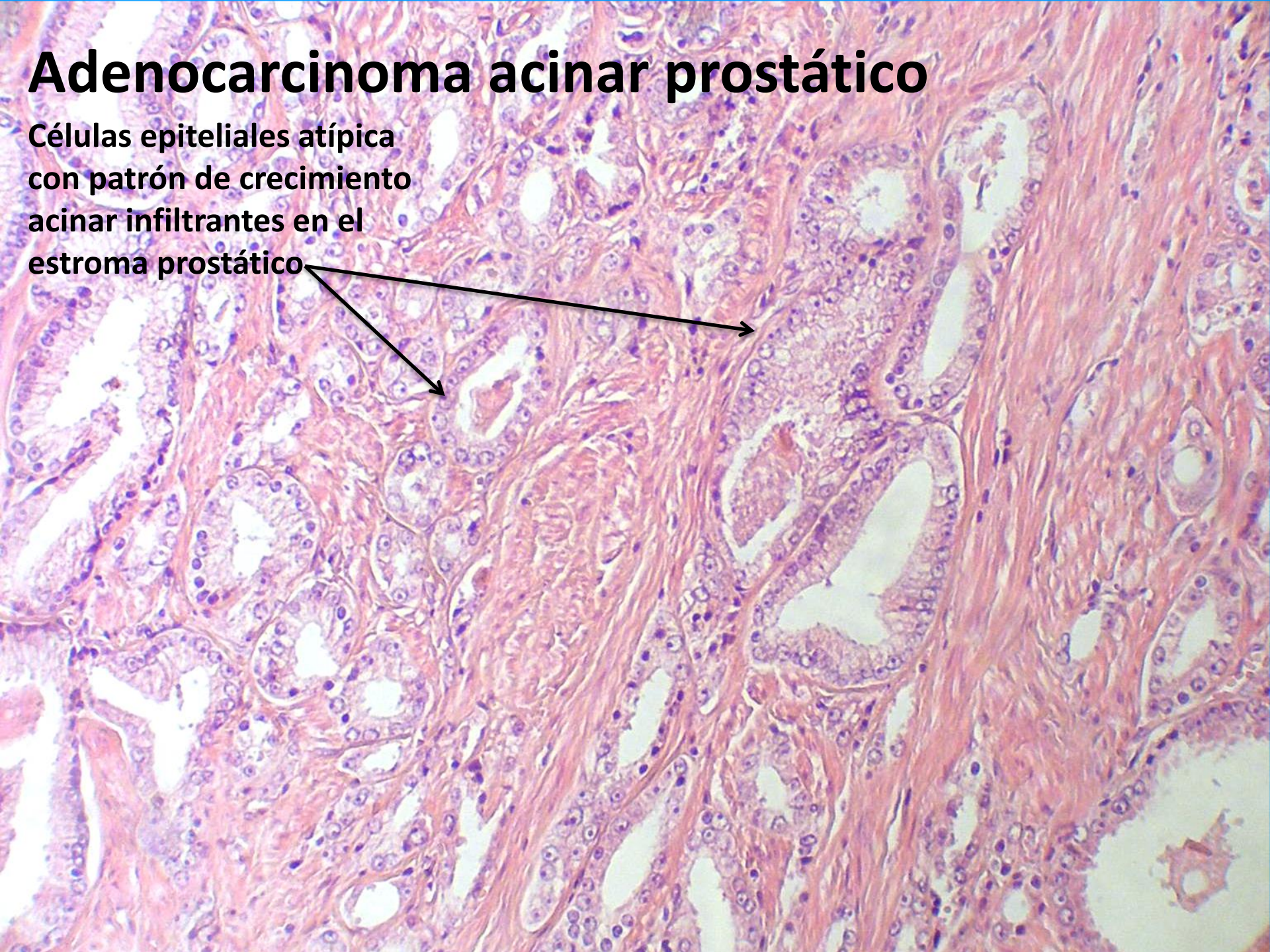
adenocarcinoma acinar

**Células epiteliales atípicas con
patrón de crecimiento cribriforme**



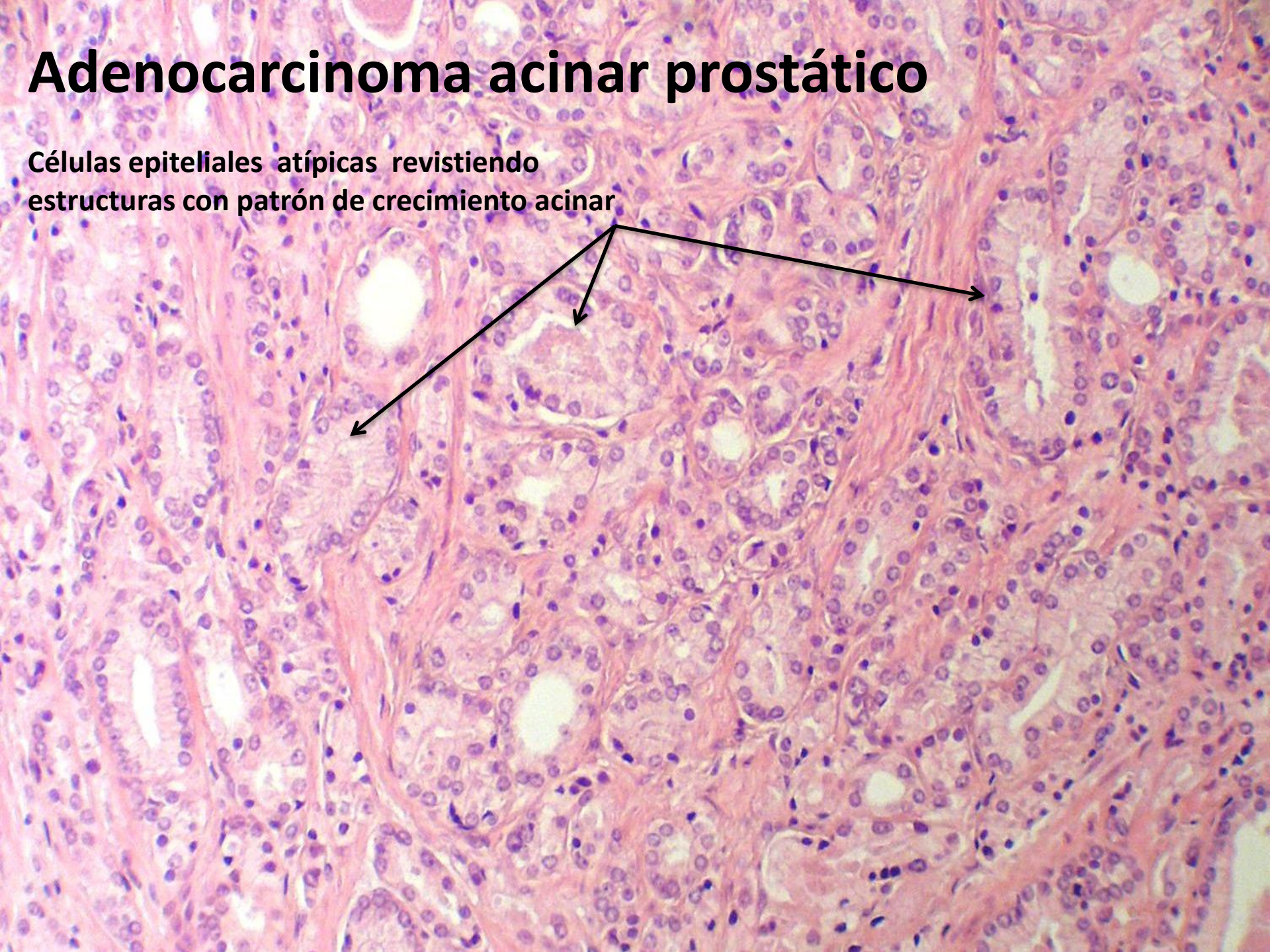
Adenocarcinoma acinar prostático

Células epiteliales atípicas
con patrón de crecimiento
acinar infiltrantes en el
estroma prostático

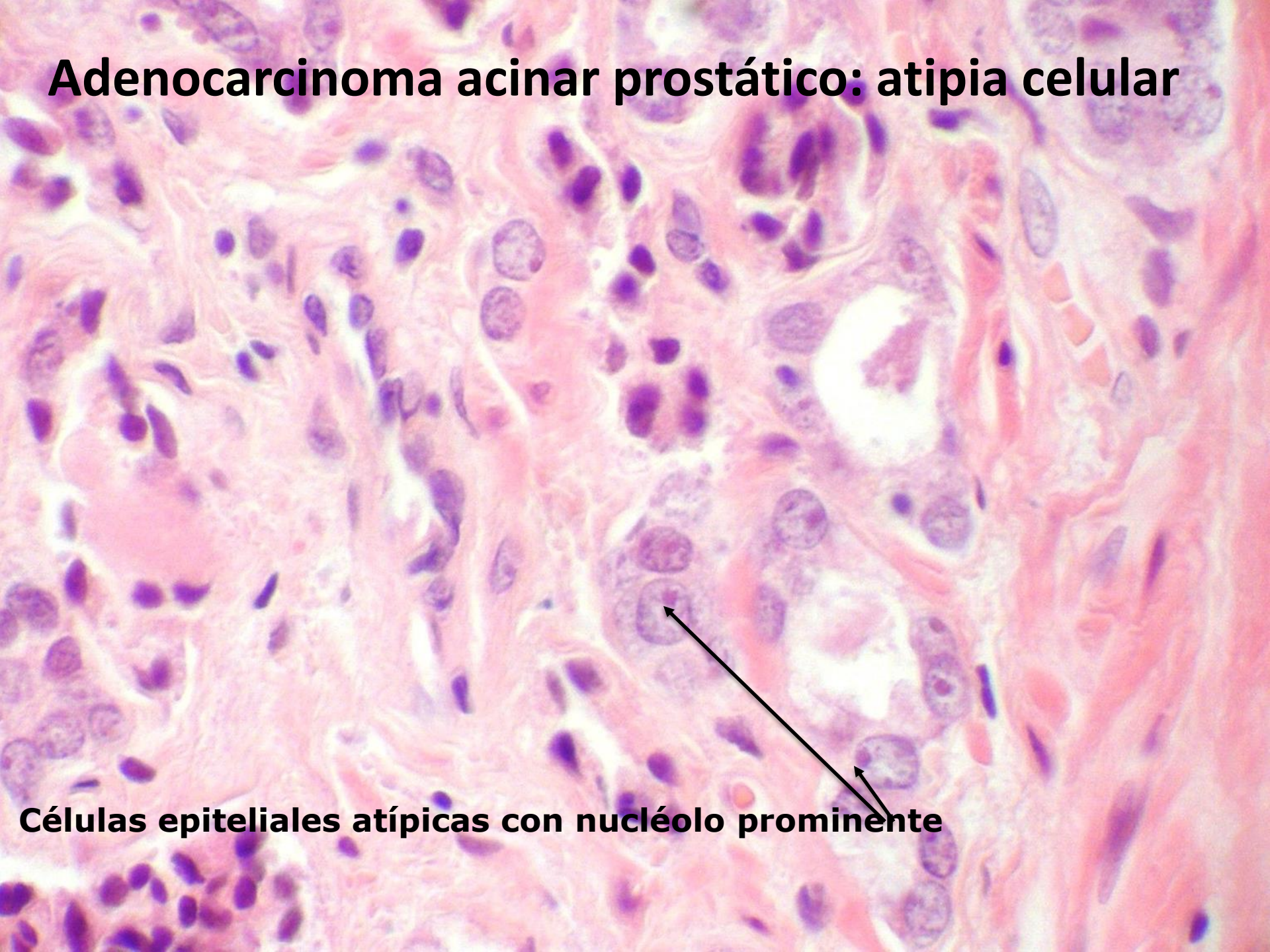


Adenocarcinoma acinar prostático

Células epiteliales atípicas revistiendo estructuras con patrón de crecimiento acinar

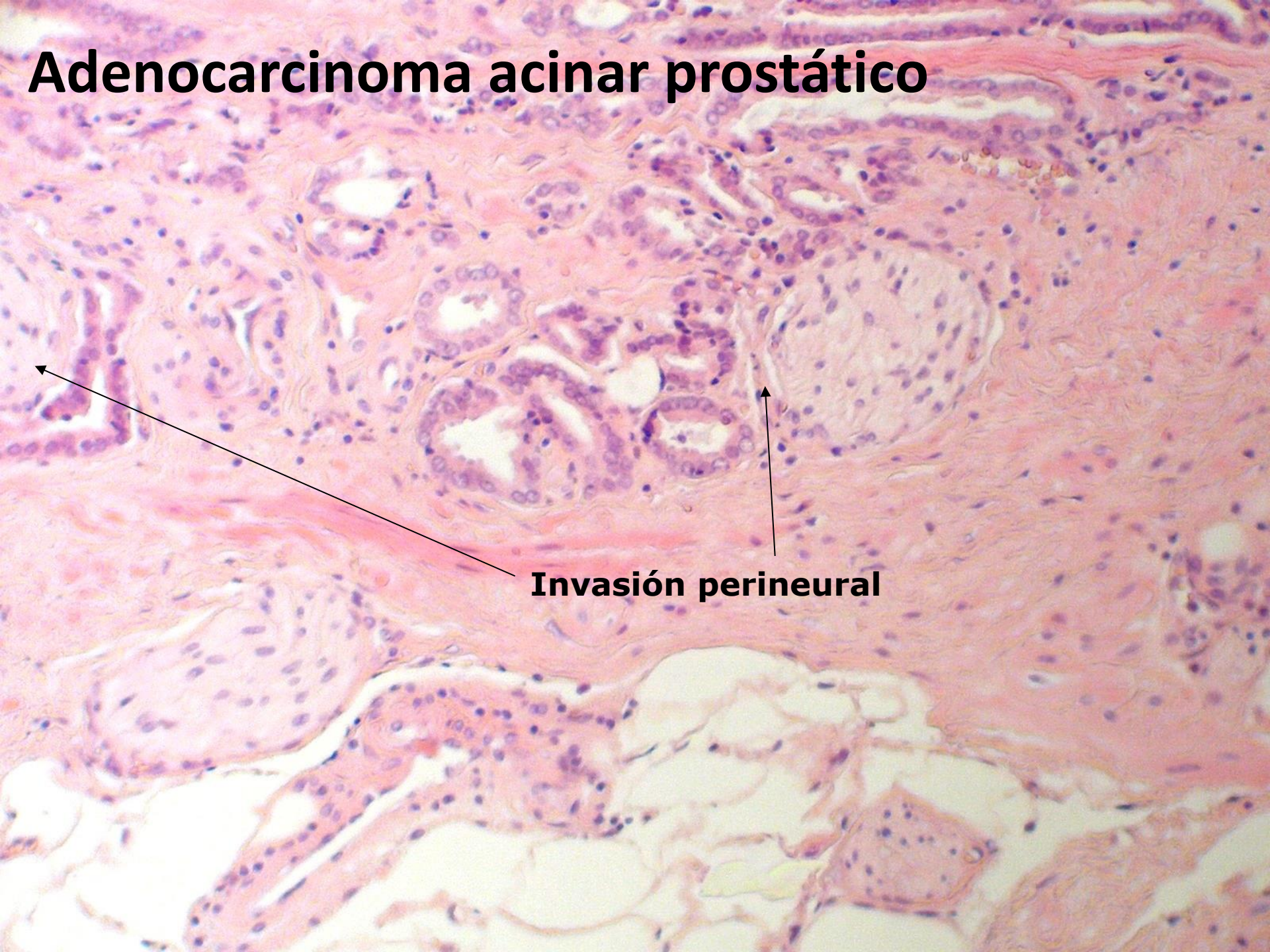


Adenocarcinoma acinar prostático: atipia celular



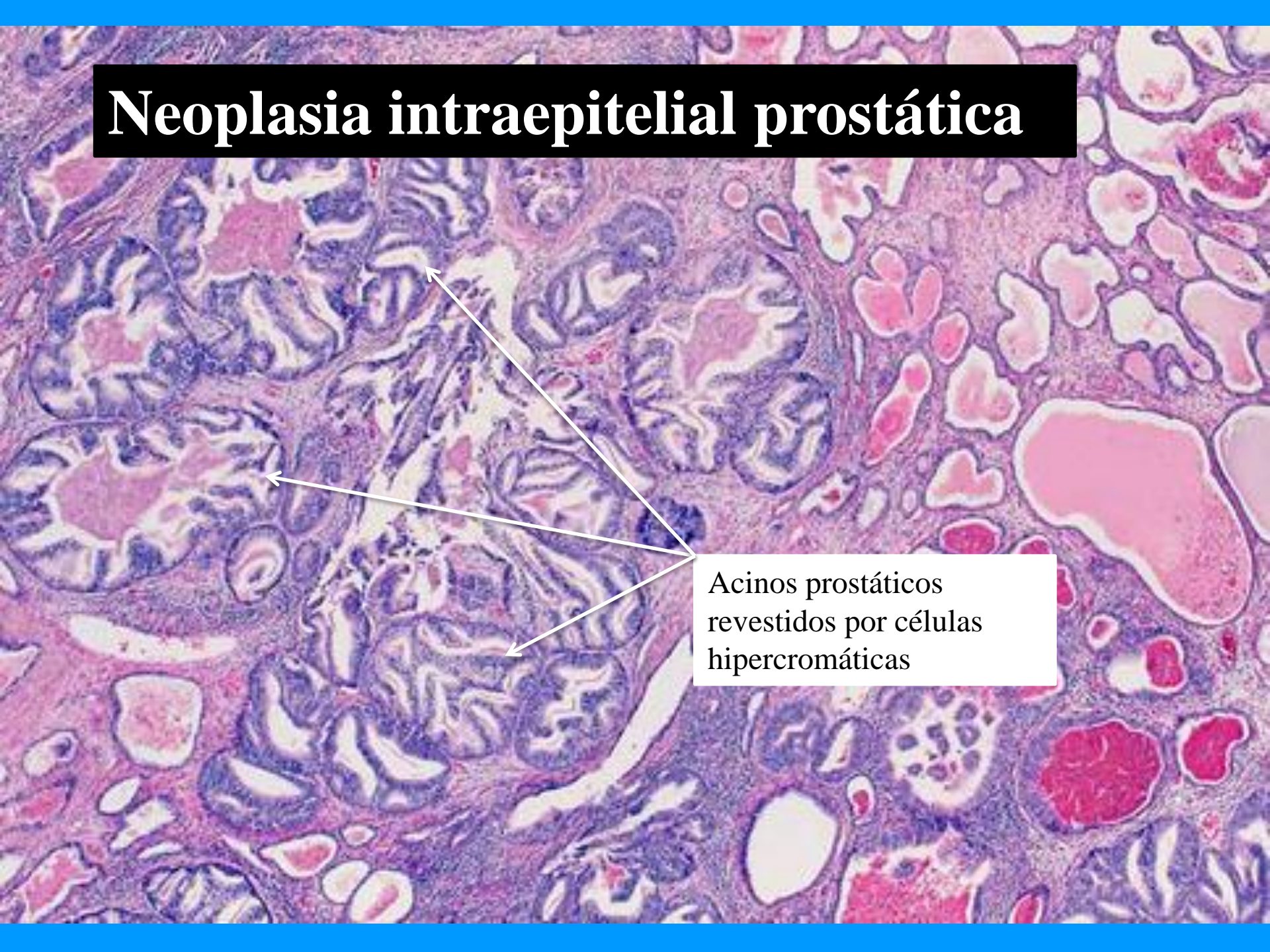
Células epiteliales atípicas con nucléolo prominente

Adenocarcinoma acinar prostático



Invasión perineural

Neoplasia intraepitelial prostática

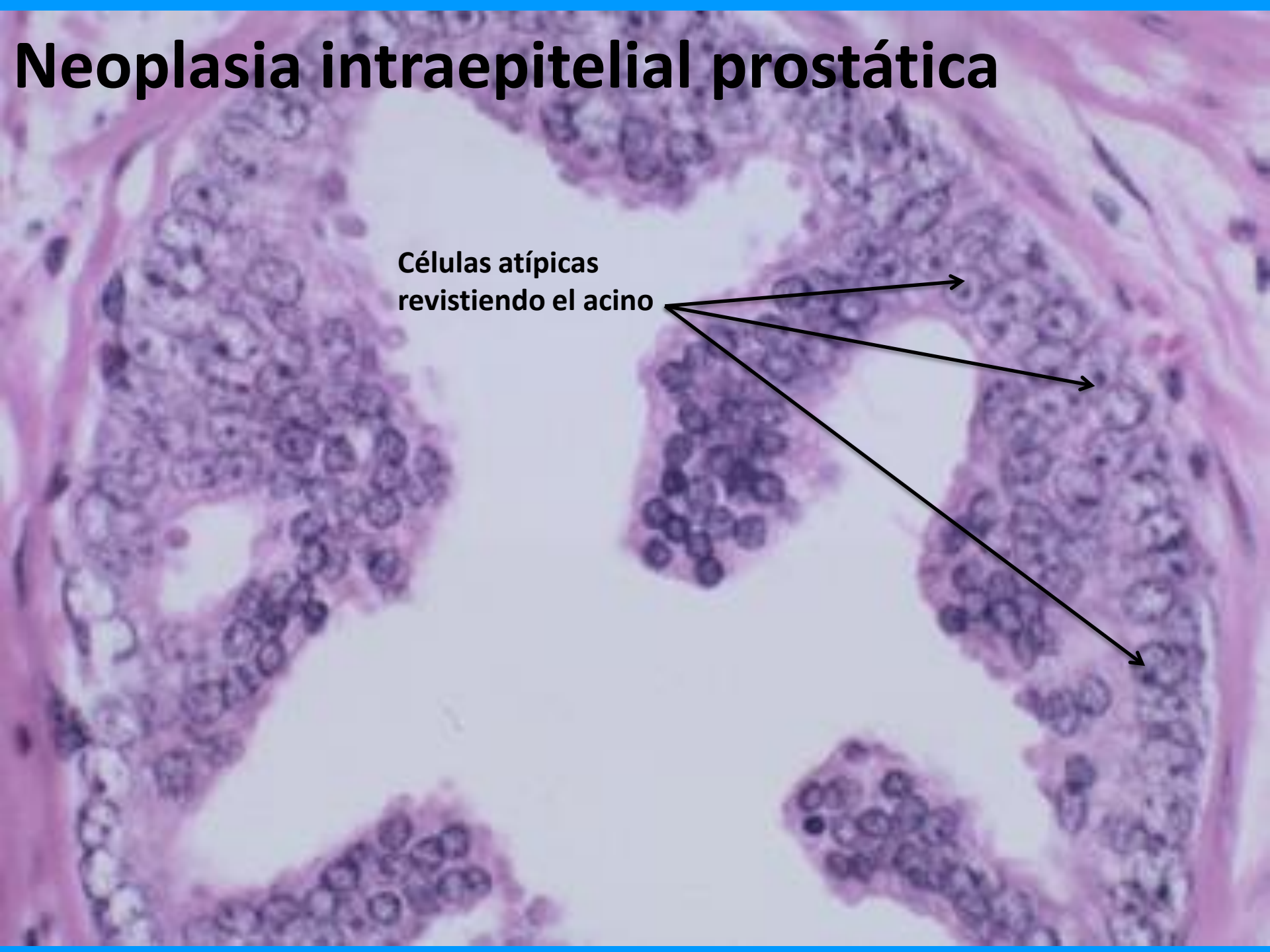
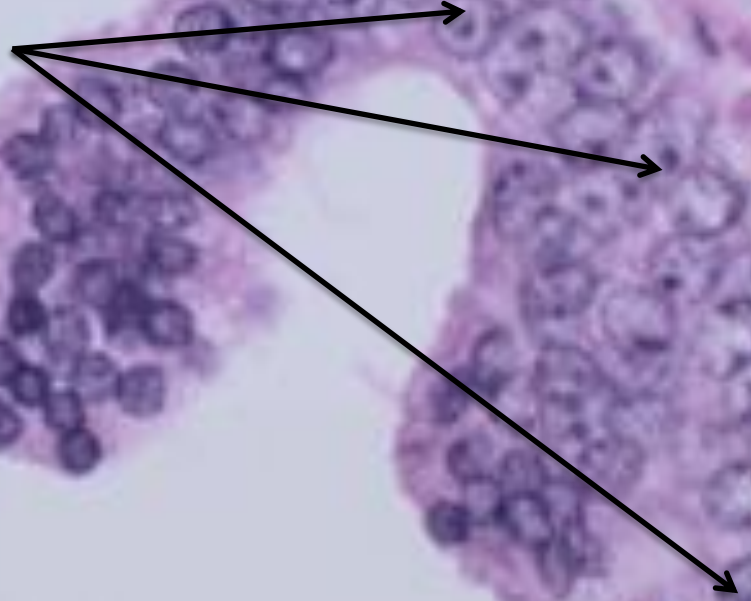


Acinos prostáticos
revestidos por células
hipercromáticas

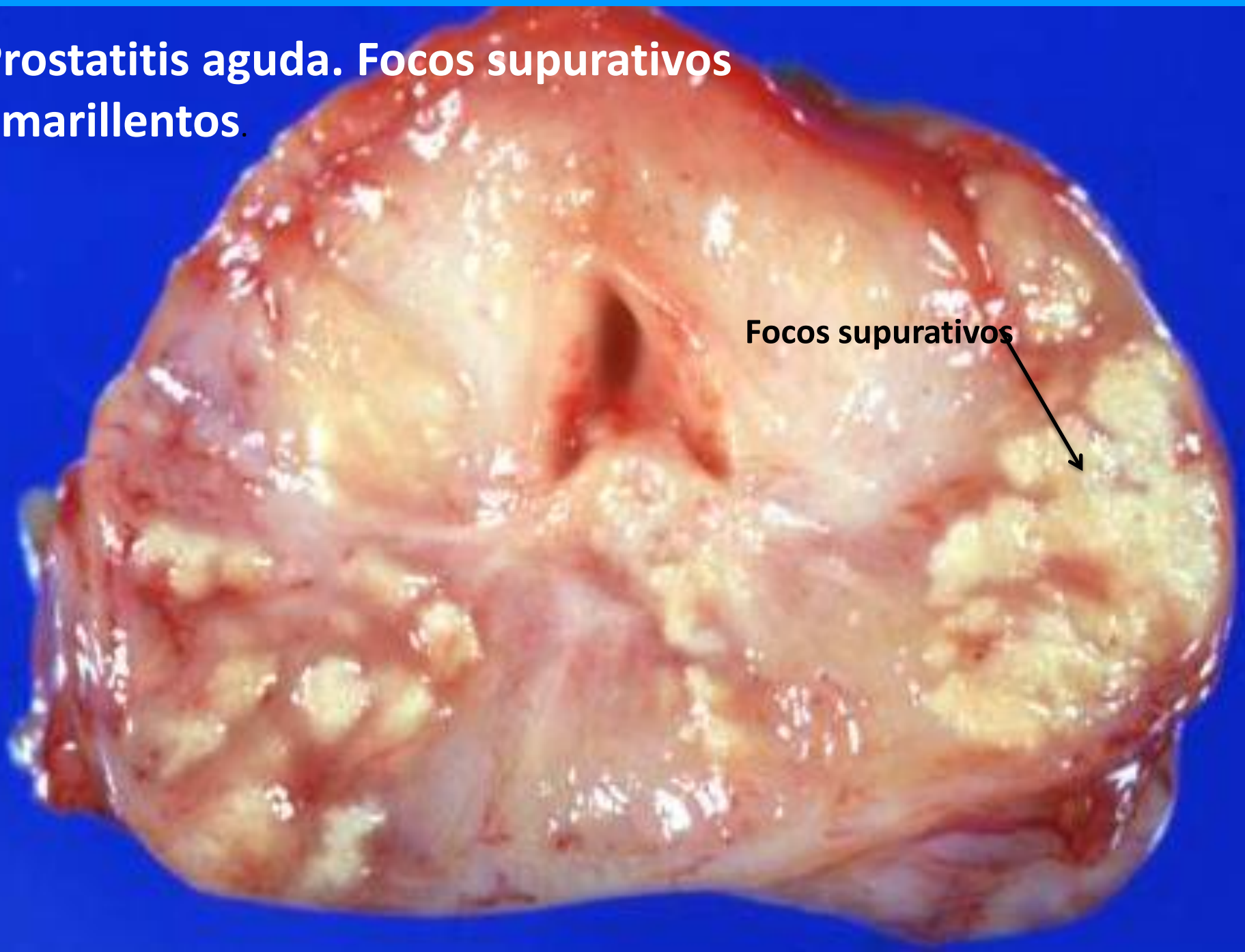
The image is a histological section of prostate tissue stained with hematoxylin and eosin (H&E). It shows numerous glandular acini of varying sizes and shapes. The acini are lined by a single layer of epithelial cells. In the area indicated by the arrows, the nuclei of these cells are significantly enlarged and stained a deep purple, indicating hyperchromasia. The overall architecture shows a loss of the normal, regular glandular pattern, which is characteristic of prostatic intraepithelial neoplasia (PIN).

Neoplasia intraepitelial prostática

Células atípicas
revistiendo el acino



Prostatitis aguda. Focos supurativos amarillentos.



Focos supurativos

Prostatitis aguda

Infiltrado inflamatorio neutrofílico
estromal y luminal

